

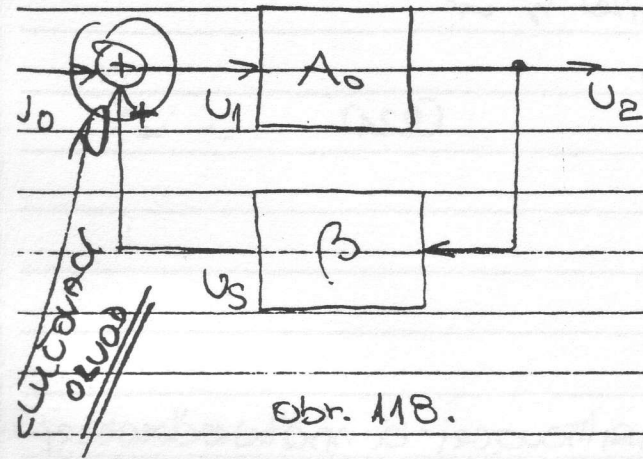
## 6. Spätne väzba.

5

### 6.1. Základné pojmy.

030

030



obrázok 118.

Pri takých dvojbránach ako sú zosilňovače, možno časť signálu z výstupu priviesť späť na vstup. Takéto priviedenie signálu z výstupu systému (zosilňovača) na jeho vstup nazývame spätou väzbou. Blokovej schéme dvojbrány so spätou väzbou znázorňuje obr. 118. Systém podľa obr. 118 má dve vetvy: vetvu

zosilňovacia a vetvu spätoväzobnú. Zosilňovacia vetva prenáša signál v priamom smere, t.j. od vstupu k výstupu. Jej prenosová funkcia je  $A_0$ . Druhou vetvou prechádza signál v obrátenom smere, t.j. od výstupu k vstupu. Jej prenosová funkcia je  $\beta$  a voláme ju činiteľom spätnej väzby. Obidve tieto funkcie prenosové sú definované ako pomer výstupného a vstupného napätia pri uvažovanej vetve, t.j.

$$A_0 = \frac{U_2}{U_1}$$

$$\beta = \frac{U_3}{U_2}$$

(216)

ychádzajúc, zo vzťahov (216), možno pre prenos systému so spätou väzbou písať tieto rovnice:

$$U_0 + U_3 = U_1$$

(217)

$$U_0 = U_1 - U_3$$

(218)

upravených vzťahov

osadením (217) do (218) možno odviesť tieto vzťahy:

$$U_0 = U_1 - U_3 = \cancel{U_2/A_0} U_2(p) / A_0(p) - \beta(p) U_2(p) =$$

$$= (1/A_0(p) - \beta(p)) U_2(p) = \frac{\cancel{1} - \beta(p) A_0(p)}{A_0(p)} U_2(p) \quad (219)$$

oužitím vzťahu (219) možno pre prenos  $U_2(p)/U_0(p)$  písať tento vzťah:

(93)

$$\frac{U_2(p)}{U_0(p)} =$$

$$= \frac{A_0(p)}{1 - A_0(p)B(p)} = \frac{A_0(p)}{K(p)} \quad (220)$$

Výraz

druhá spätná väzba.

$$K(p) = 1 - A_0(p)B(p) \quad (221)$$

sa nazývajú stupňom spätnej väzby.

2. Základné typy spätnej väzby

So zreteľom na spôsob zapojenia zosilňovacej a spätoväzobnej vetvy zosilňovača so spätnou väzbou, rozlišujeme 2 základné typy spätnej väzby.

1. Spättná väzba sériová

2. Spättná väzba paralelná

- sú to také väzby, pri ktorých v zlučovacom obvode sú zdroj signálu, výstup spätoväzobného článku a vstup zosilňovača bez spätnej väzby zapojené v sérii alebo paralelne.

1. Spättná väzba prúdová

2. Spättná väzba napätová

- pri ktorých je spätoväzobné napätie  $U_s/B$  odvodené z prúdu záťaže, alebo z napätia záťaže.

Kombinovaním týchto typov spätnej väzby obdržime tieto

4 základné typy spätnej väzby:

a) Sériovo-paralelná spättná väzba (napätová spättná väzba sériová) (obr.

b) Sériová spättná väzba (prúdová spättná väzba sériová).

c) Paralelná spättná väzba (napätová spättná väzba paralelná).

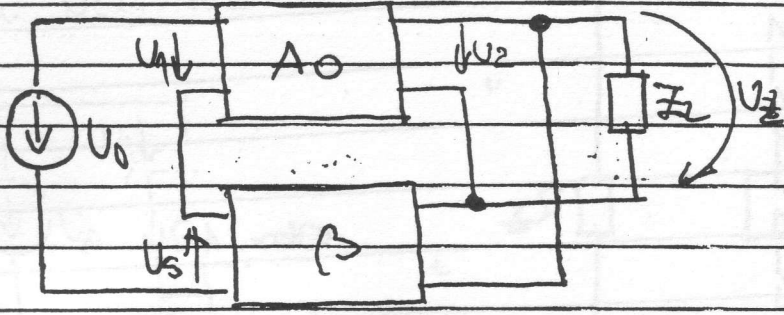
d) Paralelno-sériová spättná väzba (prúdová spättná väzba paralelná).

zodpovedajúce

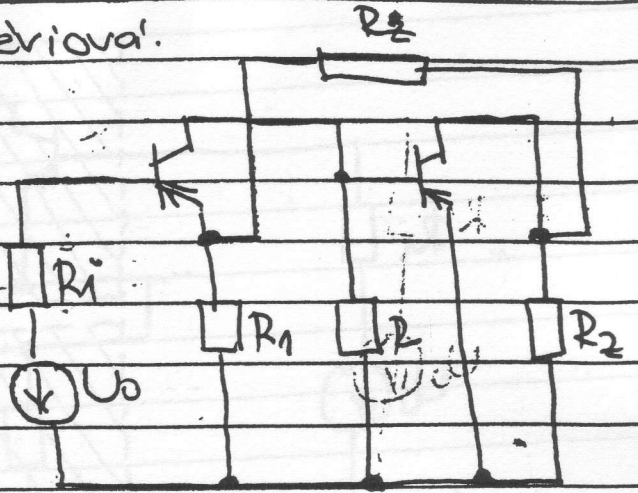
Schématické zapojenia, vyššie uvedené 4 typy základných spätnej väzby, ako aj príklady týchto typov spätnej väzby u obvodov s tranzistorom sú naznačené na obr. (119 - 130).

$\beta, R_1, \sigma, \omega$

a. Napětová spátňá vřzba seriová.

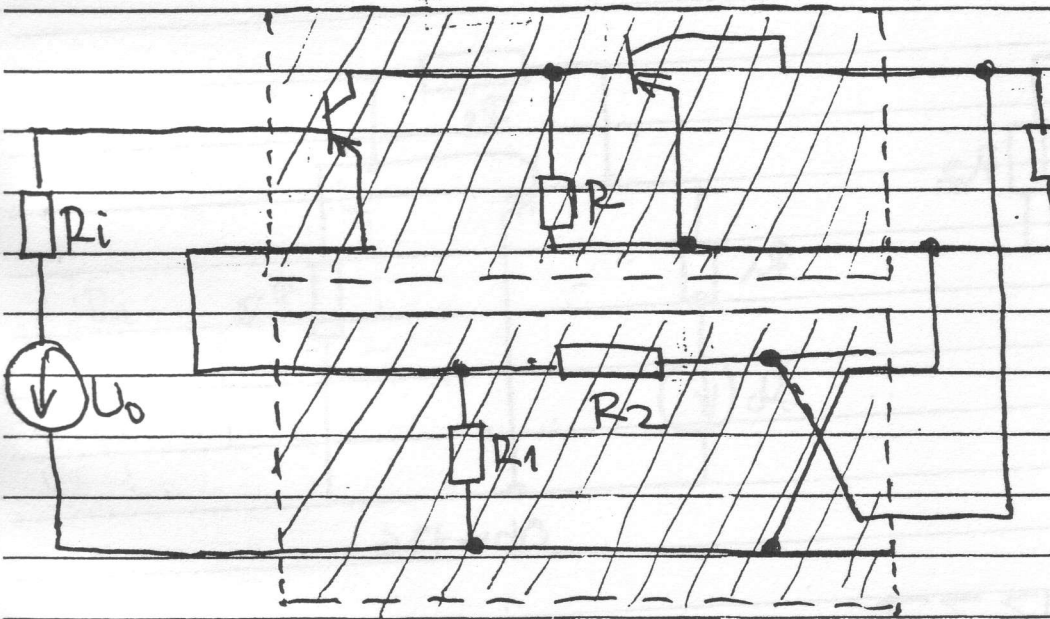


$U_1 = U_0 + U_S$        $U_S = \beta U_2, U_2 = A_0 U_1$



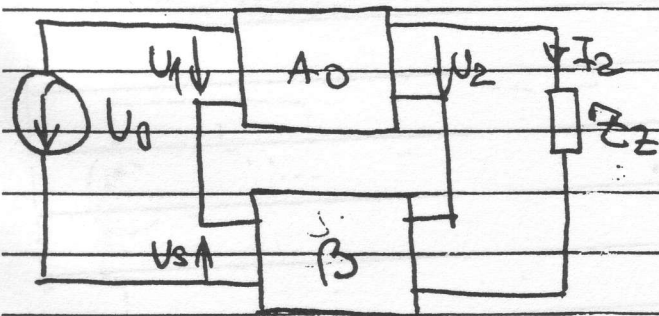
Obr. 119.

Obr. 120.

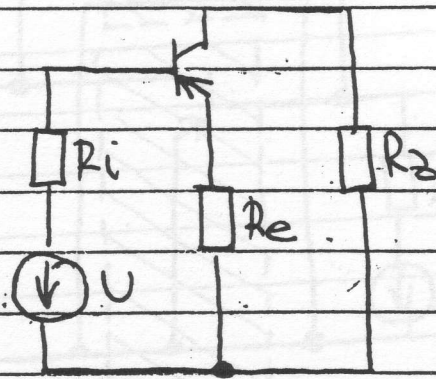


Obr. 121

b. Průřlová spátňá vřzba seriová.

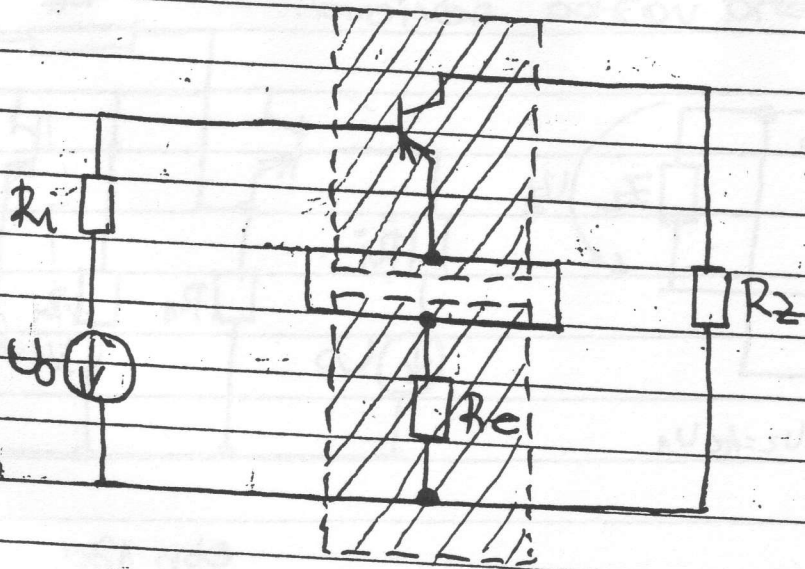


$U_1 = U_S + U_0$        $U_S = \beta I_2, U_2 = A_0 U_1$



Obr. 122.

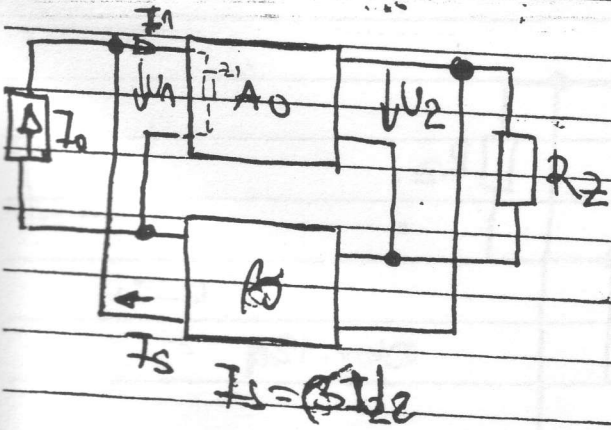
Obr. 123



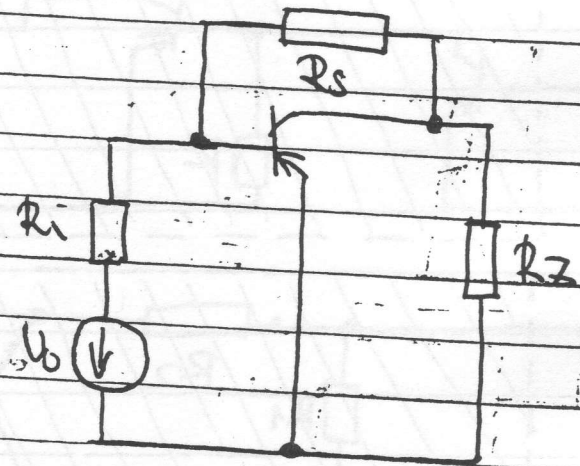
Obr. 124

20 + 0V =

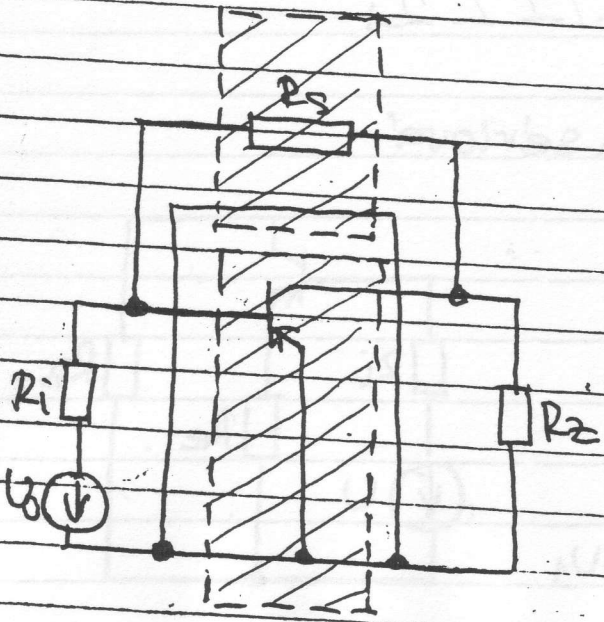
5. Napd'ena' sp'atna' uo'zba paralelna'.



Obr. 125



Obr. 126



Obr. 127

Poznamky k Obr. 119, 122, 125, 128.

Obr. 119.

$$\begin{cases}
 U_2 = A_0 U_1 \\
 U_s = \beta U_2 \\
 U_1 = U_0 + U_s
 \end{cases}
 \Rightarrow
 \begin{cases}
 U_1 = U_0 + U_s = U_0 + \beta U_2 = U_0 + \beta A_0 U_1 = \\
 U_1(1 - \beta A_0) = U_0 \\
 U_1 = U_0 / (1 - \beta A_0) = U_0 / k \quad U_1 / U_0 = 1/k
 \end{cases}$$

Obr. 122.

$$\begin{aligned}
 U_2 &= A_0 U_1 & Z_{s1} & \text{ - ustupna' impedancia op'atov' zobnej' ve'vy.} \\
 U_s &= \rho I_2 \\
 U_1 &= U_0 + U_s
 \end{aligned}$$

$$I_2 = \frac{U_2}{Z_2 + Z_{s1}} \quad U_s = \frac{\rho I_2}{Z_2 + Z_{s1}} = \frac{\beta}{Z_2 + Z_{s1}} U_2 = \beta U_2$$

$$\begin{cases}
 U_2 = A_0 U_1 \\
 U_s = \beta U_2 \\
 U_1 = U_0 + U_s
 \end{cases}
 \Rightarrow U_1 / U_0 = 1/k.$$

Obr. 125.

$$\begin{cases}
 I_1 = I_0 + I_s \\
 U_2 = A_0 U_1 \\
 I_s = \sigma U_2 \\
 U_1 = I_1 Z_1
 \end{cases}
 \Rightarrow
 \begin{aligned}
 I_1 &= I_0 + I_s = I_0 + \sigma U_2 = I_0 + \sigma A_0 U_1 = \\
 &= I_0 + \sigma A_0 Z_1 I_1 = I_0 + \underbrace{\sigma Z_1 A_0}_{\beta} I_1 \\
 &= I_0 + \beta A_0 I_1
 \end{aligned}$$

$$\begin{aligned}
 I_1(1 - \beta A_0) &= I_0 \\
 I_1 &= I_0 \frac{1}{1 - \beta A_0} = \frac{I_0}{k}
 \end{aligned}$$



$$U_2 = A_0 U_1$$

$$I_S = \alpha I_2$$

$$I_1 = I_0 + I_S$$

$$U_1 = I_1 Z_1$$

$$U_2 = I_2 (Z_2 + Z_{S1})$$

$$\begin{aligned}
 I_1 &= I_0 + I_S = I_0 + \alpha I_2 = I_0 + \alpha \frac{U_2}{Z_2 + Z_{S1}} \\
 &= I_0 + \alpha \frac{A_0 U_1}{Z_2 + Z_{S1}} = I_0 + \alpha \frac{A_0 I_1 Z_1}{Z_2 + Z_{S1}} \\
 I_1 \left( 1 - \underbrace{\frac{\alpha Z_1 A_0}{Z_2 + Z_{S1}}}_{\beta} \right) &= I_0
 \end{aligned}$$

$$I_1 \left( 1 - \frac{A_0 \beta}{k} \right) = I_0$$

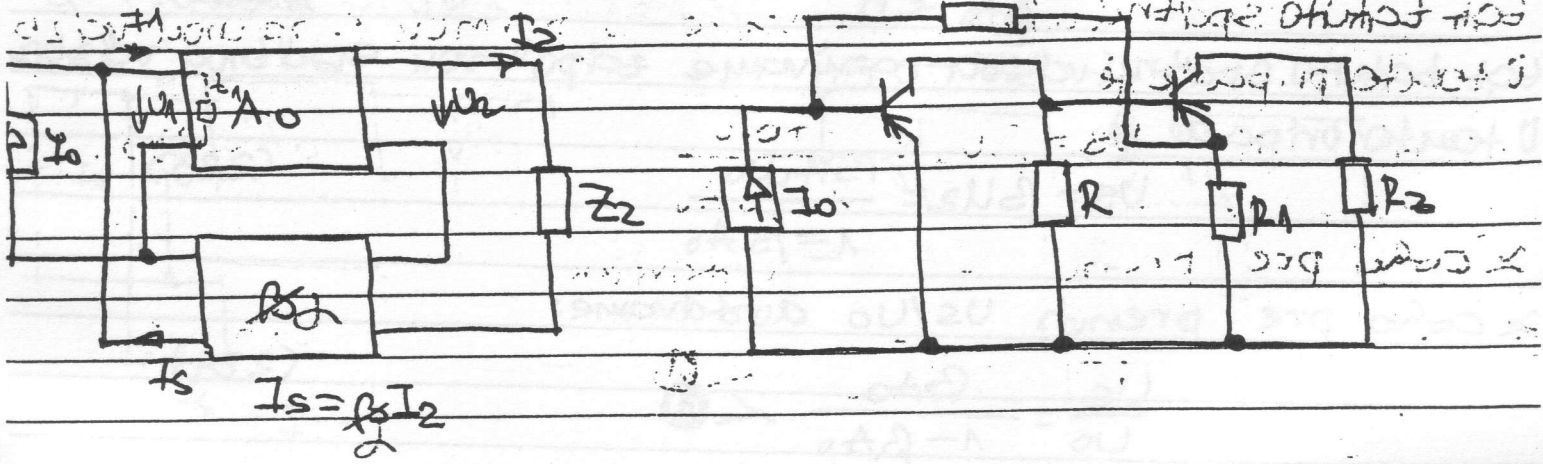
$$I_1 = I_0 \frac{1}{1 - \beta A_0} = \frac{I_0}{k}$$

$$I_1 / I_0 = \frac{1}{k}$$

$$\begin{aligned}
 I_1 &= I_0 + I_2 = I_0 + \alpha I_2 \\
 I_1 &= I_0 + \alpha I_2 \\
 I_1 &= I_0 + \alpha I_2 \\
 I_1 &= I_0 + \alpha I_2
 \end{aligned}$$

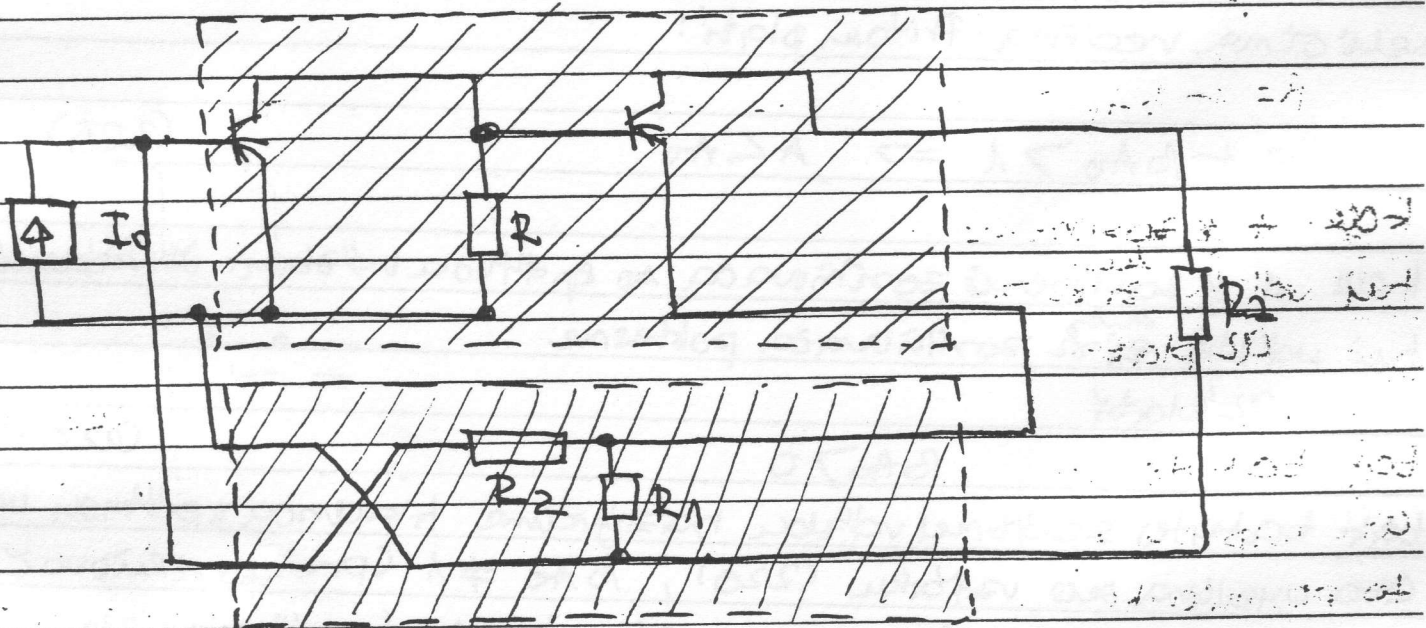
$$\begin{aligned}
 I_2 &= \alpha I_1 \\
 I_2 &= \alpha I_1 \\
 I_2 &= \alpha I_1 \\
 I_2 &= \alpha I_1
 \end{aligned}$$

d. Prídava' spätná väzba paralelná.  $R_2$



Obr. 128.

Obr. 129.



Obr. 130

Predpokladajme teraz, že prevos korigovacej a spätno-  
 d'zobovej veľky sú reálne a potom v závislosti od toho, aké  
 znamienko má výraz

$$\beta A_0$$

označujeme spätnú väzbu do dvoch kategórií a to má  
 zápornú a kladnú spätnú väzbu.

Keďže  $\beta A_0$  reálne a má záporné znamienko, t.j.  $\beta A_0 < 0$   
 latí:

$$\beta A_0 < 0$$

tak takuto spätnú väzbu nazývame zápornou spätnou väzbu  
V tomto prípade je

$$U_s = \beta U_2 = \frac{\beta A_0 U_0}{1 - \beta A_0} \quad (223)$$

z čoho pre prenos  $U_s/U_0$  dostávame:

$$\frac{U_s}{U_0} = \frac{\beta A_0}{1 - \beta A_0} < 0 \quad (224)$$

Záporná spätná väzba vznikne pri zosilňovači teda vtedy, keď sa  
jeho výstup dostane na vstup napätie, ktoré je v protifáze s  
vstupným napätím. Stupni spätnej väzby je v tomto prípade  
veličina reálna. Pritom platí:

$$K = 1 - \beta A_0 > 1 \Rightarrow A < A_0 \quad (225)$$

Keď  $A$  je zosilnenie zosilňovača so spätnou väzbu. Zavedením  
tuh väzby <sup>tedy</sup> zosilňovača poklesne.

Či platí

$$\beta A_0 > 0 \quad (226)$$

tak takuto spätnú väzbu nazývame kladnou spätnou väzbu  
čo vyplýva zo vzťahu (220),  $\beta A_0 \neq 1$  (pre zosilňovač). Pre  
to podmienku (220), vyjadrujúcu kladnú spätnú väzbu treba  
písať takto:

$$0 < \beta A_0 < 1 \quad (227)$$

Stupni spätnej väzby je v tomto prípade

$$0 < K = 1 - \beta A_0 < 1 \quad (228)$$

z uvedeného plynie, že

$$A > A_0 \quad (229)$$

t.j. zavedením kladnej spätnej väzby sa zosilňovač  
oslabuje.



### 6.3. Výstupní impedancia zesilovače s spátňou vřzbou

Zesilovač s spátňou vřzbou ako každý iný zesilovač možno považovať z hľadiska vonkajšej záťaže ž z pripojenej k jeho svorkám výstupným svorkám za zdroj signálu, ktorý má svoje charakteristické veličiny: napätie naprážno,  $U_p$ , prúd natrážno  $I_k$  a vnútornú impedanciu  $Z_i$ . Vnútorná impedancia takéhoto zdroja je totiž výstupná impedancia zesilovača.

Uvažujme najskôr prípad NADÁŤOVEJ SPÁŤNEJ VŘZBY (119). Pre napätie na ~~vst~~ naprážno na výstupe zesilovača platí:

$$U_{pn} = \frac{U_{p0}}{k} \quad (230)$$

ale  $U_{pn}$  - napätie zesilovača s spátňou vřzbou, a  $U_{p0}$  - bez spátňej vřzby. Prúd natrážno je

$$I_{kp} = I_{k0} \quad (231)$$

Leď je výstup zo silňovača zapojený do skratu, nie je tam nijaké pätie a teda aj signál privádzaný na vstup je nulový. To ale znamená, že zesilovač s spátňou vřzbou napätňou vstave skratko, sa správa tak, ako zesilovač bez spátňej vřzby. e výstupnú impedanciu z uvedeneho plynie:

$$Z_{in} = \frac{U_{pn}}{I_{kn}} = \frac{U_{p0}}{k} \frac{1}{I_{k0}} = \frac{Z_{i0}}{k}$$

$$Z_{in} = \frac{Z_{i0}}{k}$$

(232)

i prídavej spátňej vřzbe jednotlive veličiny označíme druhým indexom "p". Pre napätie naprážno platí:

$$U_{pp} = U_{p0} \quad (233)$$

reťže na výstupe neteďe žiadny prúd. Preto je signál privádzaný na vstup cez spátňu vřzbu nulový a zesilovač sa správa tak, akoby tu spátňej vřzby vôbeč nebola. e výstupná impedancia je daná výrazom

$$I_{kp} = \frac{I_{ko}}{K}$$

(234)

Pre výstupnú impedanciu potom dostaneme

$$Z_{ip} = \frac{U_{p0}}{I_{kp}} = \frac{U_{p0}}{I_{ko}/k} = \frac{U_{p0}}{I_{ko}} k = Z_{io} k \quad (235)$$

6. j)

$$Z_{ip} = Z_{io} k$$

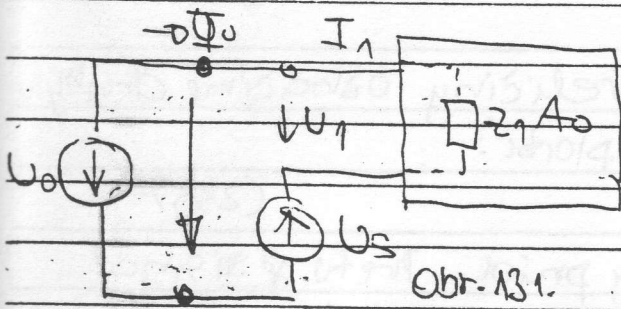
(236)

04. Vstupná impedancia zosilňovača so spätnou väzbou

Pod vstupnou impedanciou zosilňovača rozumieme také impedanciu, ktorú keď pripojíme k zdroju vonkajšieho signálu, bude sa zväčšovať odberať pri nezmenenom napätí taký istý prúd, aký sa odberá pri pripojenom zosilňovači. Vstupnú impedanciu zosilňovača bez spätnej väzby označuje  $Z_0$ . Platí preň vzťah:

$$Z_0 = \frac{U_0}{I_0} = \frac{U_1}{I_1} = Z_1 \quad (237)$$

Teraz sa budeme zaoberať vplyvom spätnej väzby seťrovej na vstupnú impedanciu zosilňovača (druhý index s). Spätnú väzbu u'vretu tu môžeme považovať za zdroj napätia  $U_s$  privedeného späť, ktorý je zapojený do série so zdrojom vonkajšieho napätia  $U_0$  (obr. 131).



Nakoľko platí:

$$U_2 = \frac{A_0}{1 - A_0 \beta} U_0 \quad \Rightarrow \quad U_1 = \frac{1}{k} U_0$$

$$U_2 = A_0 U_1 \quad U_{os} = k U_1$$

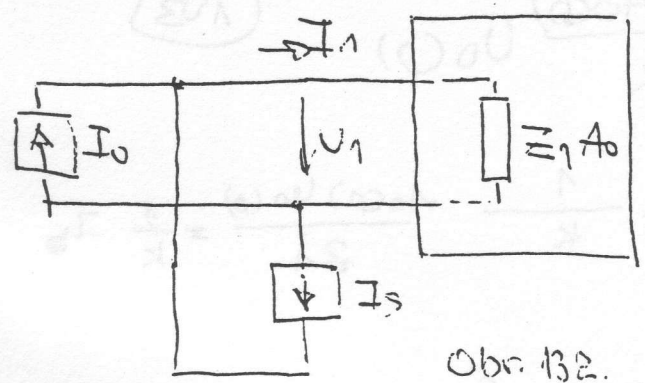
$$U_{os} = k U_1 \quad (238)$$

$$I_{os} = I_1 \quad (239)$$

pre prúd  $I_{os}$  platí:

$$Z_{os} = \frac{U_{os}}{I_{os}} = \frac{k U_1}{I_1} = k Z_1 \quad (240)$$

Uvažujme teraz prípad paralelnej spätnej väzby (index "p"). Spätňoväzob-  
 nú vetvu môžeme nahraadiť zdrojom-prúdovým, ktorý je pripojený para-  
 lelne k droju vonkajšieho signálu. (obr. 132)



Ako sme ukázali v predchádzajúcom, pre  $I_{op}$  platí:

$$I_{op} = I_{nk} \quad (241)$$

a pre napätie

$$U_{op} = U_1 \quad (242)$$

Ustupná impedancia je  $I_{op} = \frac{U_{op}}{I_{op}} = \frac{U_1}{I_1} \cdot \frac{1}{k} = \frac{Z_1}{k} \quad (243)$

Zhľadom na štruktúru uvedenej väzby môžeme zhrnúť podstaty vplyvu spätnej väzby zápornej ( $k > 1$ ) na vstupnú a výstupnú impe-  
 danciu zosilňovača takto:

	$Z_{vst}$	$Z_{vst}$
S - N	$Z_{vst} \cdot k$	$Z_{vst} / k$
P - N	$Z_{vst} / k$	$Z_{vst} \cdot k$
S - P	$Z_{vst} \cdot k$	$Z_{vst} \cdot k$
P - P	$Z_{vst} / k$	$Z_{vst} / k$

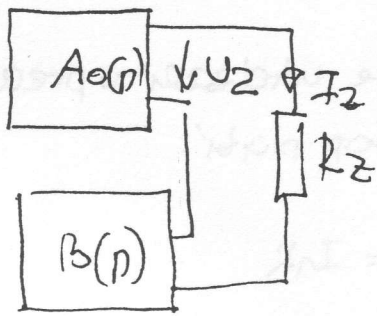
$$Z_{vst} = \frac{U_0}{I_0} = \frac{U_0}{I_0 + I_{S0}} = \frac{U_0}{U_1} Z_1 = Z_1 / k$$

5.5. Vplyv spätnej väzby na nelineárne efekty.

Určenci tohoto odseku sa budeme zaoberať vplyvom  $U$  na drift zosilnenia, rušivé napätia a nelineárne skres-  
 enie.

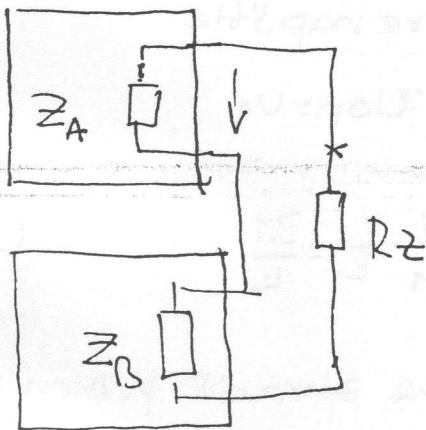
Zosilnenie zosilňovačov môže v bežnej prevádzke nepravi-  
 lne kolísat. Toto kolísanie sa označuje ako drift zosilni-  
 ča. Je to predovšetkým preto, že sa s časom menia prac-  
 o-  
 v-  
 e podmienky všetkých súčiastok a súčiastky starnutím  
 menia svoje parametre. Najväčší vplyv na nestálosť zosilnenia

Nýstepná impedancia zosilňovača pri použití prevodov \$k\$:



$$U_2(p) = \frac{A_0(p)}{k} U_0(p) \quad (103)$$

$$I_2 = \frac{U_2}{Z_A} = \frac{1}{k} \frac{A_0(p) U_0(p)}{Z_A} = \frac{1}{k} I_0$$



$$1. U_{PP} = U_{p0}$$

$$2. I_{KP} = \frac{1}{k} I_{k0}$$

$$\left. \begin{array}{l} \\ \end{array} \right\} Z_{VP} = \frac{U_{p0}}{I_{kp}} = \frac{U_{p0}}{\frac{I_{k0}}{k}} = k \frac{U_{p0}}{I_{k0}} = \underline{\underline{k Z_{V0}}}$$

$$I_{k0} = \frac{U_2}{Z_A} = \frac{A_0 U_0}{Z_A}$$

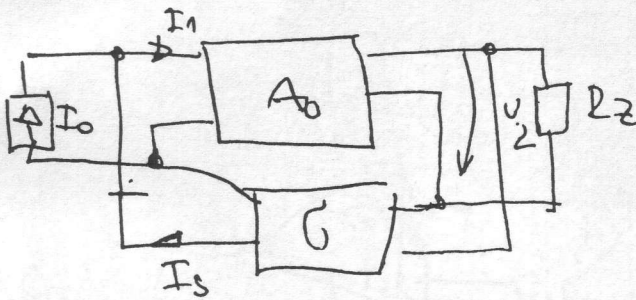
$$I_{KP} = I_2 \Big|_{R_Z=0} = \frac{U_2}{Z_A} = \frac{A_0 U_0}{k Z_A} = \frac{1}{k} \frac{U_0 A_0}{Z_A} = \frac{1}{k} I_{k0}$$

$$Z_{VP} = \frac{U_{PP}}{I_{KP}} = \frac{U_{p0}}{\frac{1}{k} I_{k0}} = k \frac{U_{p0}}{I_{k0}} = \underline{\underline{k Z_{V0}}}$$

$$Z_{vs} = \frac{U_0}{I_0} = \frac{U_0}{\frac{U_0 + U_s}{Z_1}} = \frac{U_0}{U_1} Z_1 = \underline{\underline{Z_1 k}}$$

$$\frac{U_0}{U_1} = 1 - \beta A = k \Rightarrow \frac{U_0}{k} = U_1$$

$$U_1 = \frac{U_0}{k} \quad A U_1 = \frac{A}{k} U_0 \quad U_2 = \frac{A}{1 - \beta A} U_0$$



$$I_s = \beta U_2 =$$

$$\begin{aligned} I_1 &= I_0 + I_s = I_0 + \beta U_2 = I_0 + \beta A_0 U_1 = \\ &= I_0 + \beta A_0 Z_1 I_1 = I_0 + A_0 \underbrace{(\beta Z_1)}_k I_1 = \\ &= I_0 + A_0 \beta I_1 \end{aligned}$$

$$I_1 (1 - \beta_0 A_0) = I_0$$

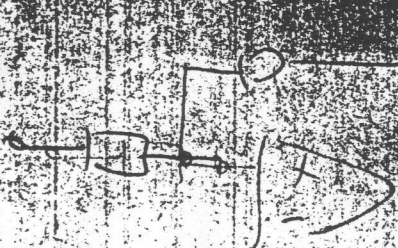
$$\frac{I_1}{I_0} = \frac{1}{1 - \beta_0 A_0} = \frac{1}{k}$$

$$Z_{vs} = \frac{U_0}{I_0} = \frac{I_1 Z_1}{I_0} = Z_1 / k$$



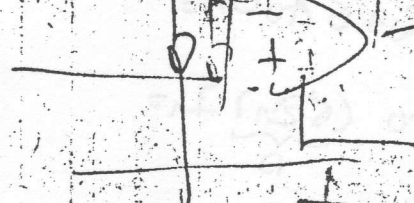
$$\frac{dI}{dt} = \frac{20 + 0.5}{1.5} \text{ A/s}$$

neg



$$= N_1 I_1 \frac{d\theta}{dt} + \mathcal{E} = N_2 I_2 \frac{d\theta}{dt} + \mathcal{E} = 2I_2 + \mathcal{E} = \mathcal{E}$$

$$= N_1 I_1 \frac{d\theta}{dt} + \mathcal{E} = N_2 I_2 \frac{d\theta}{dt} + \mathcal{E} = 2I_2 + \mathcal{E} = \mathcal{E}$$



$$I_2 = N_1 I_1 + \mathcal{E}$$

$$I_2 = (N_1 I_1 - \mathcal{E}) / N_2$$

$$\frac{1}{2} = \frac{N_1}{N_2} \frac{dI_1}{dt} = \frac{dI_1}{dt}$$

$$\frac{dI_1}{dt} = \frac{dI_2}{dt} = \frac{dI}{dt}$$

majú teplota a napájacie napätia. Steplotou sa menia priebehy  $v-A$  charakteristik a polohy pracovných bodov polovodičových prvkov. Napájacie napätia zas určujú polohu hľadových pracovných bodov.

Najdôležitejším parametrom pre vyjadrenie driftného zosilnenia je relatívna zmena zosilnenia vyjadrená pomerom  $\frac{dA_0}{A_0}$  bez spätnej väzby alebo  $dA'/A'$  po zavedení spätnej väzby.

Nech pre zosilnenie zosilňovača so spätnou väzbou platí:

$$A' = \frac{A_0}{1 - \beta A_0} \quad (244)$$

Potom relatívnu zmenu zosilnenia  $dA'/A'$  možno odviesť takto:

$$\frac{dA'}{dA_0} = \frac{(1 - \beta A_0) - A_0(-\beta)}{(1 - \beta A_0)^2} = \frac{1}{(1 - \beta A_0)^2} \quad (245)$$

$$\frac{dA'}{dA_0} = \frac{A_0}{(1 - \beta A_0)} \cdot \frac{1}{1 - \beta A_0} \cdot \frac{1}{A_0} = A' \cdot \frac{1}{1 - \beta A_0} \cdot \frac{1}{A_0}$$

$$\frac{dA'}{A'} = \frac{dA_0}{A_0} \cdot \frac{1}{1 - \beta A_0}$$

$$\frac{dA'}{A'} = \frac{dA_0}{A_0} \cdot \frac{1}{K} \quad (245)$$

Zo vzťahu (245) vidieť, že relatívna zmena prenosu sa pri zavedení spätnej väzby zmení rovnako, ako zosilnenie. Za predpokladu, že  $K \gg 1$  (že pomať  $sv$ ), tak sa driftný prenos zmenšuje. Že pomať spätnej väzby preto znižuje kolísavosť prenosu.

Snáho po dosiahnutí čo najstálejšieho prenosu elektro-  
ických zosilňovačov vedú spravidla k zavádzaniu silnej

zápornéj spätnej väzby, pri ktorej je stupeň spätnej väzby

$k > 1$  (246)

v tom to prípade ale platí:

$k = 1 - \beta A \approx -\beta A$  (247)

Dosadením (247) do (244) potom pre prenos zosilňovača so spätnou väzbou dostávame vzťah:

$A_v \approx -\frac{1}{\beta}$  (248)

zo vzťahu (248) je zrejme, že ak platí (246), tak nezdravé výsledné zosilnenie na pôvodným. Výsledné zosilnenie je dané len číselným spätnej väzby  $\beta$ , ktorý môžeme u určitých medziach nastaviť pomocou kombinácie pasívnych dodatočne stabilných prvkov. Na tomto princípe je založené použitie operačných zosilňovačov.

Rovnakej účinnosti, aký má SV na užitočné signály, má i na signály rušivé, parazitné. Rozdiely medzi pôsobením spätnej väzby na rušivý a užitočný signál sú spravidla utom, že užitočný a rušivý signál unikajú do prenosového reťazca v rôznych miestach a že po zavedení SV často meníme úroveň užitočného signálu. Ak zavedieme do obvodu SV a rušivé užitočné signály zapadajú do stredného frekvenčného pásu, pôsobí SV rovnako na všetky signálové zložky, takže odstup signálu od rušenia sa nemení.

Po zavedení zápornej SV klesnú hodnoty usektých zložiek signálu na výstupe v rovnakej miere. Ak je predpísané určité výstupné napätie (alebo výkon) užitočného signálu, musíme po zavedení zápornej SV zväčšiť amplitúdu budenia úmerne zariadenému stupňu zosilnenia H. Pretože zároveň rušivých signálov a pritom nemerania, stápa tiež odstup signálu od šumu, čo možno niektorých prípadoch využiť.

Z uvedeného vyplýva, že zápornú SV nemožno použiť k zlepšeniu odstup signálu od šumu, ak je predpísaná určitá vstupná úroveň zariadenia a ak pochádza šum zo vstupného obvodu. Tausak



znamena, že sum nie je možné niťaj úplným pomocou spätných väzieb. Preto máme sumové diódo tranzistorov závisť na impedancii zdroja budce a tranzistora. Požadavky nižšieho sumu možno potom vyhovieť tak, že nadviaci okruh navrhujeme tak, aby mal impedanciu čo možno najbližšie optimu z hľadiska sumu, a vstupné parametre zesilňovača upravíme v ňom, aby vyhovovali ostatným požiadavkám. (napr. vstupná impedancia zesilňovača).

Nelineárne skreslenie možno považovať za objavenie sa vyšších harmonických zložiek na výstupe obvodu, ak na vstupe obvodu je čistý harmonický signál (sinusový). Uvedieme, ktorá čiastka miera nelineárneho skreslenia nazývame číselným nelineárnym skreslením (číslo celokového harmonického skreslenia,  $\theta$ ), ktorý možno definovať vzťahom

$$\theta = \frac{\sqrt{U_{2m}^2 + U_{3m}^2 + \dots + U_{nm}^2}}{U_{1m}} \quad \theta = \sqrt{\frac{U_2^2 + U_3^2 + \dots + U_n^2}{U_1^2 + U_2^2 + \dots + U_n^2}} \quad (24)$$

kde  $U_{1m}$  je amplitúda  $m$ -tej harmonického zložky. Analýza vplyvu spätnej väzby na nelineárne skreslenie ukazuje, že zaviedenie spätnej väzby znižuje nelineárne skreslenie podľa vzťahu

$$k \leq 10\% \quad k' = \frac{k}{K} \quad (25\phi)$$

Fig. 6. Vplyv frekvencie nezávislej spätnej väzby na frekvenciu závislosti prenosu.

Uvažujme ziskavu zesilňovača so spätnou väzbou, kde prenos zesilňovača bez spätnej väzby je

$$A_0(p) = \frac{A_s}{1 + p\tau A} \quad (251)$$

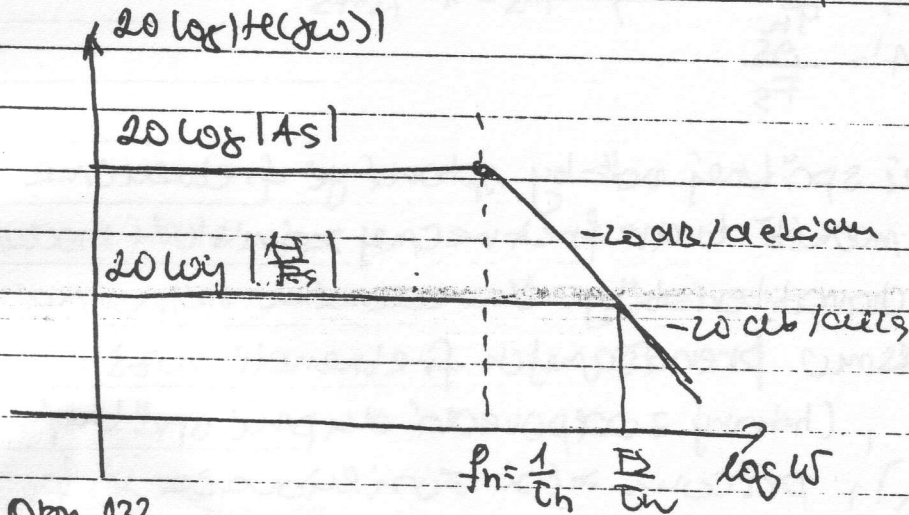
a prenos spätoväzbovej veľkosti je v celom frekvencnom pásme reálny a konštantný, t.j. platí:

$$\beta(p) = \beta = \text{konšt.} \quad (252)$$

zo vzťahu (251) vidieť, že pre frekvenčnú charakteristiku zosilňovača bez spätnej väzby platí:

$$A_0(j\omega) = \frac{A_s}{1 + j\omega \tau_R} \quad (253)$$

čomu zodpovedá amplitúdová frekvenčná charakteristika dolného priepustu (obr. 133). Amplitúdovú frekvenčnú



Obr. 133.

charakteristiku zosilňovača so spätnou väzobou a týmto dosadením vzťahu (253) do (228). Potom pre prenos zosilňovača platí:

$$A(j\omega) = \frac{A_0(j\omega)}{1 - \beta A_0(j\omega)} \quad (254)$$

t.j.

$$A(j\omega) = \frac{A_0(j\omega)}{1 - \beta A_0(j\omega)} = \frac{\frac{A_s}{1 + j\omega \tau_R}}{1 - \beta \frac{A_s}{1 + j\omega \tau_R}} = \frac{A_s}{1 + j\omega \tau_R - \beta A_s} = \frac{A_s}{(1 - \beta A_s) + j\omega \tau_R} = \frac{A_s}{\underbrace{1 - \beta A_s}_{F_s}} \frac{1}{1 + j\omega \frac{\tau_R}{F_s}} \quad (255)$$

$$|A(j\omega)| = \frac{A_s}{F_s} \frac{1}{1 + j\omega \frac{\tau_R}{F_s}} \quad (255)$$

že horný medzný kmitočet zosilňovača so spätnou väzobou

$$f_h' = \frac{F_s}{\tau_R F_s} \quad (256)$$

prícom pre zisk zosilňovača vo frekvenčnom pásme

$$\omega < f_H$$

(254)

plati:

$$A' = A_s / F$$

(258)

Použitím vzťahov (256) - (258) možno zakresiť amplitúdovú frekvenčnú charakteristiku zosilňovača so spätnou väzbou.

Z obr. 133, ako aj zo vzťahov

$$A_n = \frac{1}{G_n}$$

$$f_H' = \frac{F_s}{G_n}$$

$$F_s = 1 - \beta A_s$$

$$A_s$$

$$A' = \frac{A_s}{F_s}$$

vidíme, že zavodením spätnej väzby stáva sa frekvenčné medzičíslo nebude meniť tvar frekvenčnej závislosti modulu amplitúdy frekvenčnej charakteristiky. Zavadením recipronej spätnej väzby sa pásmo prenášajúcich frekvencií užštruje úmerne výrazu  $F_s$ , (ktorý zodpovedá stupni spätnej väzby pre  $\beta < \frac{1}{G_n}$ ), pričom zisk zosilňovača je  $\frac{1}{F_s}$  krát menší.

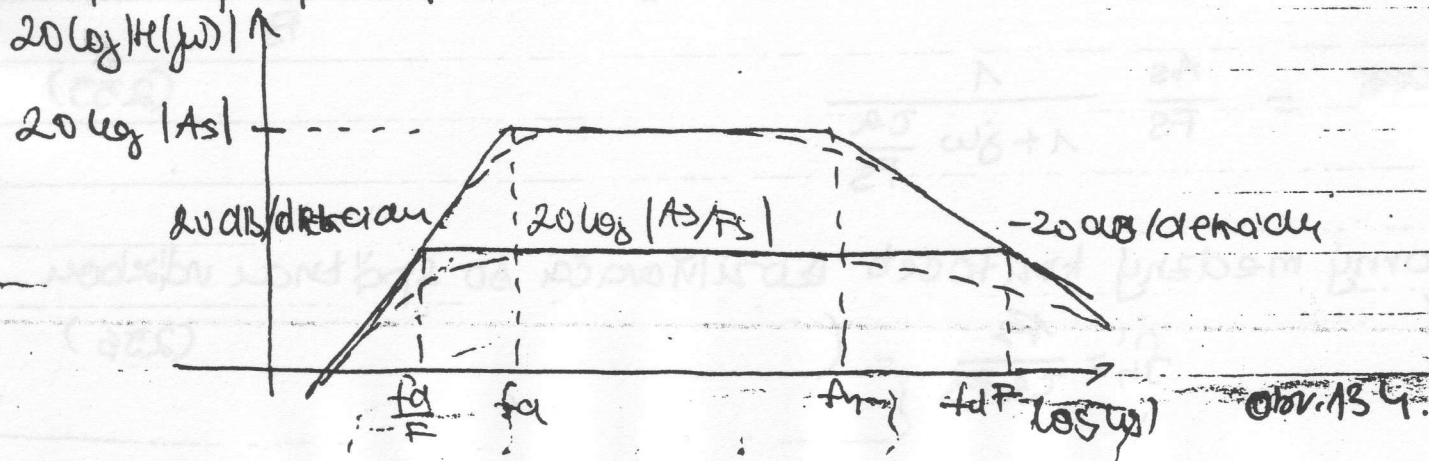
Podobný záver možno urobiť i pre dolné frekvenčné pásmo, ak v ňom pôsobí jedlý deriváčny obvod. Tu platí

$$A_d(j\omega) = \frac{A_s}{1 + \frac{1}{j\omega \tau_d}} \quad (259)$$

$$A_d'(j\omega) = A_s' \frac{1}{1 + \frac{1}{j\omega \tau_d'}} \quad (260)$$

$$\text{kde } \tau_d' = \tau_d F_s \quad f_d' = f_d / F_s \quad A_s' = A_s / F_s \quad (261)$$

Ufzledky týchto úvah sú znázornené na obr. 134, pre prípad recipronej spätnej väzby.



## 8. Stabilita lineárnych a lineárizovaných obvodov

Pod pojmom stability obvodu budeme rozumieť schopnosť obvodu reagovať na prechodný vzruch niektorej elektrickej veličiny, ktorú môžeme považovať za veličinu vstupnú. Obvod bude stabilný, ak akýkoľvek vzruch prúdu alebo napätia, vyvolaný v ktoromkoľvek mieste obvodu, spôsobí po svojom doznení tiež doznievanú odozvu v celom obvode. Obvod je nestabilný, ak po skončení vzruchu odozva trvá neobmedzene dlho.

Prí ~~stabilite~~ <sup>stabilite lineárnej</sup> obvodovej sústavy ~~sa~~ možno matematicky presvedčiť pokusom, pri ktorom predpokladáme, že navedeným (myslenom) vstupe sústavy pôsobí vzruch s časovým priebehom v tvare jednotkového impulzu. Pretože

$$\mathcal{L}[\delta(t)] = 1 \quad (262)$$

ak pre odpoveď sústavy platí

$$Y(p) = H(p) = \frac{\sum_{i=0}^m b_i p^i}{\sum_{i=0}^n a_i p^i} \quad (263)$$

že  $H(p)$  je prenosová funkcia lineárnej sústavy. V prípade lineárneho obvodu, je po celú dobu a nul prenosovej funkcie konečný, pričom možno predpokladať, že stupeň polynómu v menovateli je väčší ako stupeň polynómu v čitateli, t.j.

$$n > m \quad (264)$$

keďto podmienky, možno obraz odpovede písať v tvare

$$Y(p) = \frac{A_1}{p-p_1} + \frac{A_2}{p-p_2} + \dots + \frac{A_n}{p-p_n} = \sum_{i=1}^n \frac{A_i}{p-p_i} \quad (265)$$

že súčiniteľ  $A_i$  je daný vzťahom

$$A_i = \mathcal{L}[(p-p_i)^{-1} Y(p)]_{p=p_i} \quad (266)$$

že pravidel spätých s Laplaceovou transformáciou pre časový eber odpovede sústavy platí:

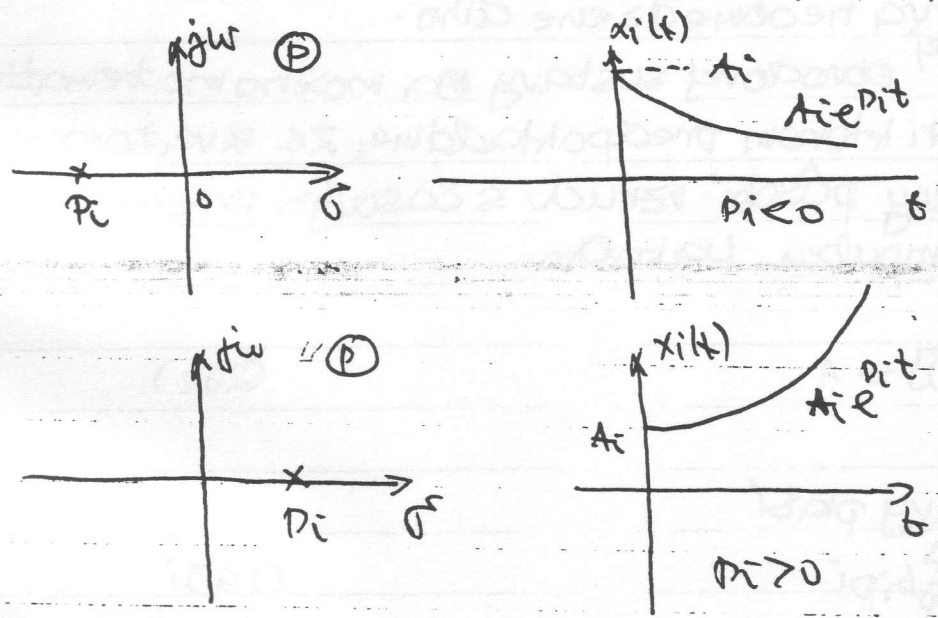
Superpozíciu reakcií (ustávených) zapíšeme:

$$y(t) = A_1 e^{p_1 t} + A_2 e^{p_2 t} + A_3 e^{p_3 t} + \dots + A_n e^{p_n t} \quad (267)$$

11/11

Každá reakcia sa dá vyjadriť transformáciou

Pretože koeficienty menovateľa  $H(p)$  sú v elektrických obvodoch reálne, tak koeficienty menovateľa  $H(s)$ , t.j. póly prenosovej funkcie môžu byť buď reálne, alebo sa vyskytujú v komplexne združených dvojiciach. Každému reálnemu pólu  $p_i$  zodpovedá impulzová odpoveď  $x_i(t) = A_i e^{p_i t}$ . ~~Keď je pól  $p_i$  záporný, je umiestnený na reálnej ose v ľavej polrovine roviny (P). (obr. 135.). Impulzová odpoveď v tomto prípade exponenciálne dozrieva, z čoho plynie, že obvod je stabilný. Ak je naopak pól  $p_i$  reálny kladný (obr. 135), impulzová odpoveď s časom exponenciálne rastie a obvod je teda~~



obr. 135.

estabilný. Ak je reálny pól v počiatku roviny  $p_i$ , je odpoveď konštantná ( $x_i(t) = A_i$ ), teda vôbec nezaniká, takže obvod je opäť nestabilný. Taktýž stav sa tiež nazýva medza nestability (alebo naopak medza stability).

Komplexné póly sa vyskytujú v komplexne združených dvojiciach, pre ktoré platí

$$\begin{aligned} A_k &= c_k + j d_k & A_k^* &= c_k - j d_k \\ p_k &= \sigma_k + j \omega_k & p_k^* &= \sigma_k - j \omega_k \end{aligned} \quad (268)$$

vsouv' priebeh odpovede zodpovedajúci tejto dvojici pólov je:

$$x_k(t) = A_k e^{p_k t} + A_k^* e^{p_k^* t} \quad (269)$$

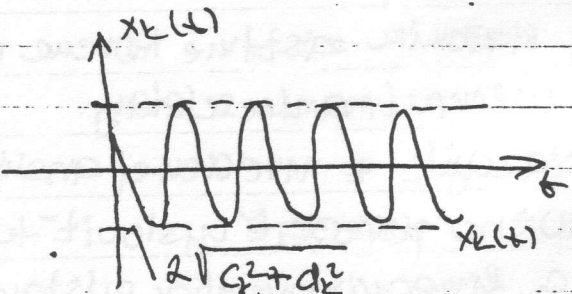
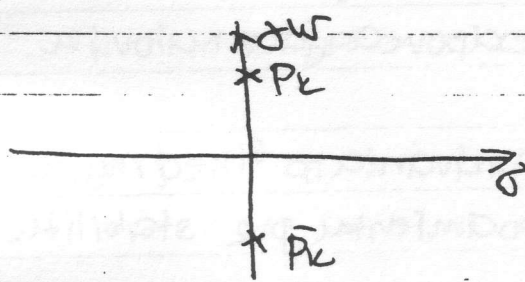
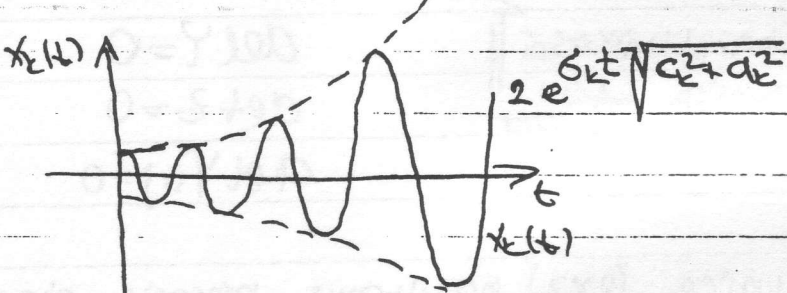
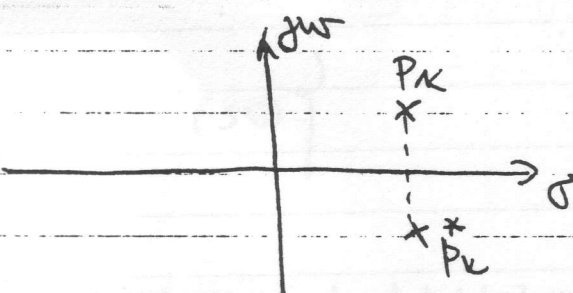
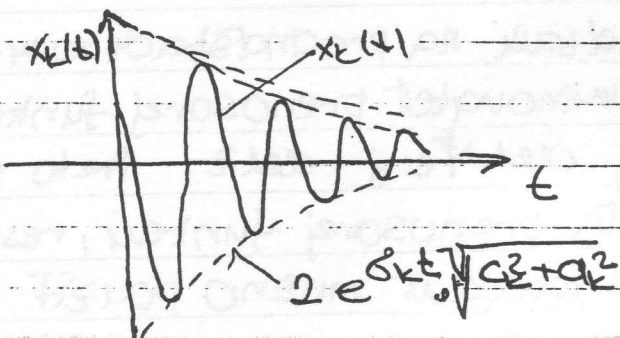
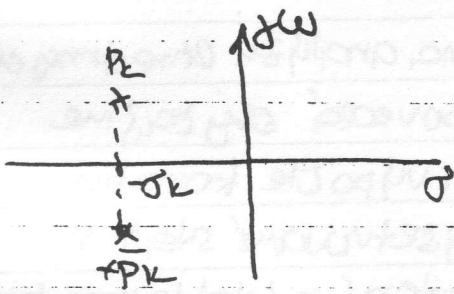
dosadení (268) do (269) dostaneme

$$x_k(t) = 2 e^{\sigma_k t} [c_k \cos(\omega_k t) - d_k \sin(\omega_k t)] \quad ($$

$$x_k(t) = 2 e^{\sigma_k t} \sqrt{c_k^2 + d_k^2} \cos(\omega_k t + \varphi_k) \quad (270)$$

$$p_k = \arctg \frac{d_k}{\sigma_k}$$

stabilitu môžeme dobre posúdiť podľa vzťahu (240). Zo vzťahu (240) vyplie, že stabilita závisí len na reálnej zložke  $p_k$  v prvej časti výrazu. Ak je  $\sigma_k < 0$ , je obvod stabilný. Ak je  $\sigma_k > 0$  je obvod nestabilný. Pri  $k=0$  je obvod nestabilný, na medzi nestability (obr. B6)



Obr. B6.

následujúce

predošlého rozboru vyplývajú zhrnvy, ktoré možno vzťahovať na prenosovú funkciu  $H(p)$  bez ohľadu na to, či sa jedná o prenos napätia, resp. prúdu. :

1. Rozloženie pólov  $H(p)$  jednoznačne určuje základný charakter predloženej odpovede.
2. Reálne póly vedú k aperiódickej odpovedi, odtiaľto a páromi komplexne združenými má kmitavý charakter s exponenciálnou alebo priamkovou obálkou.
3. Ak ležia všetky póly  $H(p)$  v ľavej polovici, je obvod stabilný.

4. Imaginárná os roviny  $p$  je hranicnou ziarou medzi oblasťou stability, nestability, leži ešte v oblasti nestability.
5. Aby obvod bol nestabilný, stačí aby jediný reálny pól alebo dvojica komplexne združených pólov ležala v pravej polrovine, vrchla imaginárnej osi.

Ako sme už vieli na prednáškach zameraných na analýzu lineárnych obvodov, menovateľ prenosovej funkcie zodpovedá obyčajne  $\det Y$ ,  $\det Y^* = \det Z$ . Preto práve pri výpočte koreňov menovateľa prenosovej funkcie, resp. pri vyšetruvaní stability lineárnych obvodov možno použiť tiež niektoré z týchto rovníc:

Charakteristická rovnica LTO:	$\det Y = 0$	}	(272)
	$\det Z = 0$		
	$\det Y^* = \det Z = 0$		

Rovnice (272) nazývame rovnice charakteristickými rovnicami obvodu. Jej riešením zistíme korene  $p_i$ , zodpovedajúce nulovým hodnotám determinantu systému.

Vychádzajúc z uvedenej analýzy správania lineárnych obvodov, možno ~~preto~~ vysloviť tieto podmienky pre stabilitu lineárnych a linearizovaných sústav:

Pre stabilitu uzavretej <sup>z.m.</sup> obvodovej sústavy je nutné a postačujúce, aby všetky póly jej prenosovej funkcie ležali v ľavej polrovine komplexnej roviny  $(\mathbb{P})$ .

~~Preto~~ Riešenie rovníc (272) resp. rovnice

$$A(p) = 0 \tag{273}$$

ale  $H(p) = B(p) / A(p) \tag{274}$

je "ručnými" metódami je obtiažné a zdlhové. Preto boli vypracované kritéria, pomocou ktorých možno jednoduchšie zistiť polohu koreňov ľubovoľného mnohočlena; v komplexnej rovine, bez potreby jeho priameho výpočtu. Najznámejšie z týchto kritérií stability, sú

Hurwitzovo kritérium stability, Routhovo kritérium stability, a Nyquistovo kritérium stability; Hurwitzovo - Liouvillovo - Schurandovo kritérium stability.

obrazka:

Uzavretou (konzervativnou) sústavou, nazývame takú autonómnu sústavu obvodov, ktorá nie je žiadnou dvojicou svojiet (žiadnou dňou) pripojená ani k vonkajším zdrojom elektromagnetickej energie, ani ku spotrebiteľom. Uzavretá sústava obvodov však môže obsahovať vnútorne zdroje elektromagnetickej energie, ktoré určujú kľúčové body obvodových prvkov sústavy a tým i ich pracovný režim (ich parametre).

1. Hurwitzove kritérium stability.

Zi klasické algebraické kritérium stability, možno porovnať s Hurwitzovými kritériami; ktoré možno formulovať takto:

Aby rovnica

a\_0 p^m + a\_1 p^{m-1} + a\_2 p^{m-2} + ... + a\_{m-1} p + a\_m = 0 (245)

ma korene p\_1, p\_2, ..., p\_m reálne záporné a komplexne s reálnou časťou zápornou, je nutnou a postačujúcou podmienkou, aby všetky koeficienty a\_0, a\_1, ..., a\_m boli nenulové a kladné a aby subdeterminanty označené v matici zostavenej v uvedenom poradí boli kladné.

Table with columns for coefficients a1, a0, 0, 0, 0, 0, ..., 0 and rows for subdeterminants H=, 0, 0, 0, 0, 0, ..., 0. The table is used to define the Hurwitz matrix H.

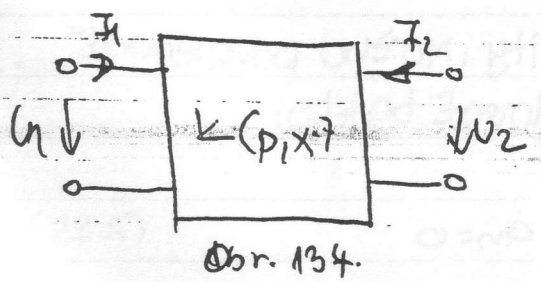
(276)

U Hurwitzovej matice H získame tak, že najskôr vyplníme hlavnú úhľovú diagonálu koeficientami a\_1 až a\_m a potom doplníme jednotkové riadky ľava do ľava.

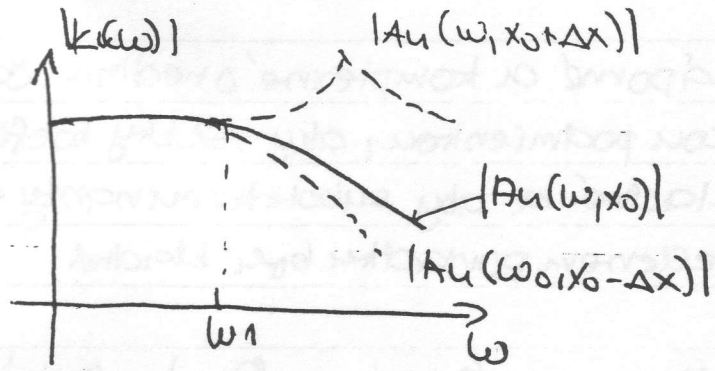


9. Citlivosť obvodových funkcií na zmenu parametru obvodového prvku.

Pri návrhu praktických obvodových schém je nutné riešiť tiež problémy povolených tolerancií jednotlivých súčiastok. Aby sa predišlo prípadnému neúspechom pri výslednej realizácii, spôsobeným toleranciami súčiastok alebo ich závislosťou od teploty či iných vonkajších vplyvov robí sa tzv. citlivosťová analýza. Touto analýzou sa sleduje vplyv zmien parametrov obvodu na odchýlky obvodových funkcií od svojich nominálnych hodnôt.



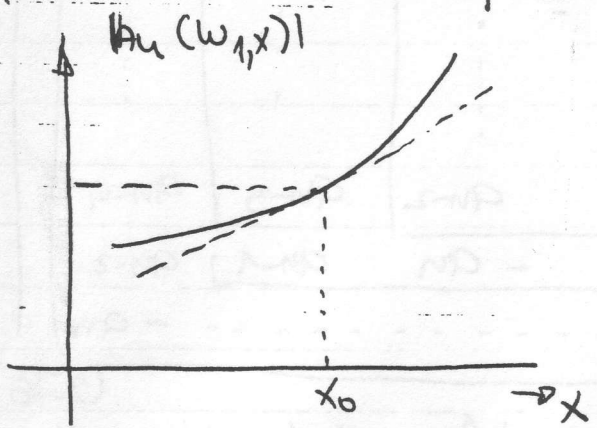
Obr. 134.



Obr. 138

Nech obvod realizujúci dvojbrannú funkciu obr. 134, 05. schuje vo svojej štruktúre súčiastku s nominálnou hodnotou  $x_0$ . Nech táto súčiastka má domnujúci vplyv na prenosové parametre dvojbranny. Pri odchýlke od nominálnej hodnoty o hodnotu  $\Delta x$  sa napr. zmení AFCH spôsobom ukázaným na obr. 138 a tomto obr. vidieť, že odchýlka AFCH sa mení s  $w$ , to znamená,

že citlivosť modulovej charakteristiky závisí od  $w$ .



Obr. 139

Nech nás napr. zaujíma závislosť AFCH od parametra  $x$ , pri  $w = w_1$ . Experimentálne by sme napr. zef. funkcií

$$f = |A_u(w_1, x)| \quad (277)$$

je možné vyjadriť grafom uvedeným na obr. 139. Priebeh funkcie  $f = |A_u(w_1, x)|$  je možno v okolí bodu  $x_0$  aproximovať priamkou, ktorá má smernicu

$$k = \left. \frac{d|Au(w, x)|}{dx} \right|_{x=x_0} \quad (274)$$

u určité hmotu bude mít směrnicu k, tím určena bude změna  
1 plitidy FCM při dané změně parametra x. Z uvedení příkladu plyne  
- citlivost obvodových funkcí, počta některého z parametrů  
vodu, je měrou citlivosti obvodových funkcí na změnu parametru  
vodového prvku.

Citlivostou obvodové fcei F(x1, x2, ..., xn, p) na xi, kde  
si parametre obvodu, nazýváme parciální derivací obvodové  
intke podla xi, t.j.

$$S_{x_i}^F = \frac{\partial F}{\partial x_i} \quad (\text{pre } p=p_0) \quad (278)$$

-tak

$$S_{x_i}^F = \frac{\partial F}{\partial x_i} \frac{x_i}{F} \quad (\text{pre } p=p_0) \quad (279)$$

zvame relativnou citivostou.

$$\frac{\Delta F}{F} = S_{x_i}^F \frac{\Delta x_i}{x_i} \quad \left. \begin{array}{l} \text{cit. a} \\ \text{relativna} \\ \text{zvama vyraz} \\ \text{ov. f. k.} \end{array} \right\}$$

Toleranciou obvodové funkcie F(x\_i, p) rozumieme diferenciu

$$\Delta F = \sum_{i=1}^n S_{x_i}^F \Delta x_i = \sum_{i=1}^n \frac{\partial F}{\partial x_i} \Delta x_i \quad (280)$$

u pre relativnu toleranciu platí vzťah

$$\frac{\Delta F}{F} = \sum_{i=1}^n S_{x_i}^F \frac{\Delta x_i}{x_i}$$

ale relatívnu citivostou  
obvodovej funkcie na daný  
relatívne zmeny parametra!

$$(281)$$

symbol  $\Delta x_i$  v definícii tolerancie označuje maximálnu odchýlku  
parametra  $x_i$  od menovitej hodnoty. Parametrom sú najčastejšie  
e hodnoty prvkov obvodových (rezistory, indukčnosti...).

~~Priznamujeme, že u prípade citlivosti vyžadujeme zmeny  
správania sa obvodu od zmeny jedného parametra, pričom u  
ipade s toleranciou, mysliť máme zmeny v správani sa  
vodu u závislosti od niekoľkých parametrov obvodu.~~

PASIVNÉ

10. LINEÁRNE DVOJPOLY - JEDNOBRANÝ.

1. Energetické funkcie.

úbovolný pasívny obvod je možné opísať sústavou integrodiferenciálnych rovníc

$$\begin{aligned} a_{11}i_1 + a_{12}i_2 + \dots + a_{1n}i_n &= u_1 \\ a_{21}i_1 + a_{22}i_2 + \dots + a_{2n}i_n &= u_2 \\ \vdots & \\ a_{m1}i_1 + a_{m2}i_2 + \dots + a_{mn}i_n &= u_n \end{aligned} \quad (9.1)$$

rezistor  $a_{ik}$  aplikovaný na prúd  $i_k$  tu má nasledujúci význam:

$$a_{ik}i_k = \# L_{ik} \frac{di_k}{dt} + R_{ik}i_k + D_{ik} \int i_k dt \quad (9.2)$$

keď  $L_{ik}$  je indukčnosť medzi slučkami  $i$  a  $k$ ,  $L_{kk}$  je celková indukčnosť v slučke  $k$ . Podobne platí pre odpor  $R_{ik}$  a inverznú kapacitu  $k$ . Poznamendávame, že inverzná kapacita  $k$ u kapacity  $C$  je definovaná takto

$$D = 1/C \quad (9.3)$$

aplikáciou LT na sústavu rovníc (9.1), pri uvoľnení nulových počiatočných podmienok, obdržime túto sústavu rovníc:

$$\begin{aligned} b_{11}I_1(p) + b_{12}I_2(p) + \dots + b_{1n}I_n(p) &= U_1(p) \\ b_{21}I_1(p) + b_{22}I_2(p) + \dots + b_{2n}I_n(p) &= U_2(p) \\ \vdots & \\ b_{m1}I_1(p) + b_{m2}I_2(p) + \dots + b_{mn}I_n(p) &= U_n(p) \end{aligned} \quad (9.4)$$

ke 
$$b_{ik} = pL_{ik} + R_{ik} + D_{ik}/p \quad (9.5)$$

sústavu rovníc (9.4) pri uvoľnení (9.5) možno prepísať do tohto maticového tvaru:

$$U = pLI + RI + \frac{1}{p} DI$$

118

(9.6)

kde  $U^T = [U_1 \ U_2 \ \dots \ U_n]^T$   $I^T = [I_1 \ I_2 \ I_3 \ \dots \ I_n]^T$

$$L = \begin{bmatrix} L_{11} & L_{12} & \dots & L_{1n} \\ L_{21} & L_{22} & \dots & L_{2n} \\ \vdots & \vdots & \ddots & \vdots \\ L_{n1} & L_{n2} & \dots & L_{nn} \end{bmatrix} \quad R = \begin{bmatrix} R_{11} & R_{12} & \dots & R_{1n} \\ R_{21} & R_{22} & \dots & R_{2n} \\ \vdots & \vdots & \ddots & \vdots \\ R_{n1} & R_{n2} & \dots & R_{nn} \end{bmatrix} \quad D = \begin{bmatrix} D_{11} & D_{12} & \dots & D_{1n} \\ D_{21} & D_{22} & \dots & D_{2n} \\ \vdots & \vdots & \ddots & \vdots \\ D_{n1} & D_{n2} & \dots & D_{nn} \end{bmatrix}$$

Uvažujme teraz sinusové budiace veličiny. Keď označíme  $\bar{I}_n$  ako komplexne združené hodnoty  $k$   $I_n$ , potom komplexný výkon na svorkách s napätím  $U_n$  je  $U_n \bar{I}_n$ . Keď vynásobíme maticu napätí transformovateľnou maticou prúdov, dostaneme celkový výkon dodávaný n nezávislými zdrojmi za predpokladu, že sústava neobsahuje žiadne vnútorné zdroje, t.j.

$$\bar{I}^T U = [\bar{I}_1 \ \bar{I}_2 \ \dots \ \bar{I}_n] \begin{bmatrix} U_1 \\ U_2 \\ \vdots \\ U_n \end{bmatrix} = U_1 \bar{I}_1 + U_2 \bar{I}_2 + U_3 \bar{I}_3 + \dots + U_n \bar{I}_n = \sum_{i=1}^n U_i \bar{I}_i \quad (9.7)$$

Keď teraz vynásobíme (9.6) zľava výrazom  $\bar{I}^T$  tak dostávame:

$$\bar{I}^T U = p \bar{I}^T L I + \bar{I}^T R I + \frac{1}{p} \bar{I}^T D I \quad (9.8)$$

Do rovnice (9.8) dosadíme za  $p = j\omega$ , potom dostávame:

$$\bar{I}^T U = \bar{I}^T R I + j\omega \bar{I}^T L I + \frac{1}{j\omega} \bar{I}^T D I = \bar{I}^T R I + j\omega \bar{I}^T L I - j \frac{\omega}{\omega^2} \bar{I}^T D I$$

$$\bar{I}^T U = \bar{I}^T R I + j\omega \left( \bar{I}^T L I - \frac{1}{\omega^2} \bar{I}^T D I \right) \quad (9.9)$$

tvoríme teraz <sup>tz.</sup> energetické funkcie  $F_s, T_s$  a  $U_s$ , definované takto:

$$F_s = \frac{1}{2} \bar{I}^T R I = \frac{1}{2} \sum_{i=1}^n \sum_{k=1}^n R_{ik} I_i I_k \quad (10.9)$$

$$T_s = \frac{1}{4} \bar{I}^T L I = \frac{1}{4} \sum_{i=1}^n \sum_{k=1}^n L_{ij} I_i I_k \quad (11.9)$$

$$V_s = \frac{1}{4\omega^2} \bar{I}^T D I = \frac{1}{4\omega^2} \sum_{i=1}^n \sum_{k=1}^n D_{ij} I_i I_k \quad (12.9)$$

Z elementárnych úvah plynie, že funkcia  $F_s$  zodpovedá polovici stredného výkonu, rozptýteného v odporoch obvodu. Funkcia  $T_s$  zodpovedá strednej hodnote energie akumulovanej v induktenciách (induktoroch) a funkcia  $V_s$  zodpovedá strednej hodnote energie nahromadenej v kapacitoroch obvodu. Z uvedených dôvodov budeme funkcie  $F_s$ ,  $T_s$  a  $V_s$  nazývať energetickými funkciami. Na základe poznatku, že stredná hodnota akumulovanej energie a rozptýteného výkonu nemôže byť záporná, môžeme vysloviť dôležitý záver, že energetické funkcie nemôžu nikdy nadobúdať záporné hodnoty. Napriek tomu, že energetické funkcie obsahujú komplexné hodnoty, z uvažovaného fyzikálneho významu plynie, že musia byť reálne. Aby sme sa o tom presvedčili, vezmime napr. komplexné združené hodnoty k hodnote  $F$ . Potom bude podľa vzťahu (10.9) platiť

$$\bar{F} = F$$

čo môže nastať len vtedy, ak je  $F$  reálne.

Funkcie definované vzťahmi (10.9) - (12.9) sa nazývajú kvadratickými formami. Tiež kvadratické formy sú vždy reálne a kladné. Kvadratické formy majiace tieto vlastnosti sa nazývajú pozitívne definitné. Ak môže kvadratická forma nadobúdať i nulové hodnoty, tak sa nazýva pozitívne semidefinitnou. Pozitívne semidefinitnej charakter kvadratickej formy, ktorej je nezávislý na hodnotách premenných, musí závisieť na matici kvadratickej formy. Ak je kvadratická forma pozitívne semidefinitná alebo pozitívne definitná, je tiež jej matrica nazývaná pozitívne semidefinitnou alebo pozitívne definitnou. Z uvedeného plynie, že matice  $R$ ,  $L$  a  $D$  sú pozitívne semidefinitné matice.

Pozitívne energetické funkcie  $F_s$ ,  $T_s$  a  $V_s$ , možno vzťah (9.9) vyjadriť v tomto tvare:

toku plečný výkon dodávaný do n

$$\mathbf{\bar{I}^T U} = \underbrace{2\mathbf{F}S}_{\text{reálny výkon}} + \underbrace{j4\omega(\mathbf{T}S - \mathbf{D}S)}_{\text{reaktančný výkon akumulovaný v obvode}}$$

(13.9)

Teraz je zrejme, že táto rovnica vyjadruje výkonový rovnováhu medzi komplexným výkonom dodávaným do obvodu medzi reálnym výkonom rozptýleným a reaktančným výkonom akumulovaným v obvode. Upravíme teraz od dočasného predpokladu sínusového prebehu napätia zdrojov a vrátme sa k rovnici (9.8):

$$\mathbf{\bar{I}^T U} = \mathbf{P} \mathbf{\bar{I}} \mathbf{I} + \mathbf{\bar{I}^T R} \mathbf{I} + \frac{1}{p} \mathbf{\bar{I}^T D} \mathbf{I} = \mathbf{P} \mathbf{T}_0 + \mathbf{F}_0 + \frac{1}{p} \mathbf{D}_0$$

b.j.:

$$\mathbf{\bar{I}^T U} = \mathbf{F}_0 + \mathbf{P} \mathbf{T}_0 + \frac{1}{p} \mathbf{D}_0 \tag{14.9}$$

kde

$$\mathbf{F}_0 = \mathbf{\bar{I}^T R} \mathbf{I} \quad \mathbf{T}_0 = \mathbf{\bar{I}^T L} \mathbf{I} \quad \mathbf{D}_0 = \mathbf{\bar{I}^T D} \mathbf{I} \tag{15.9}$$

Porovnaním týchto funkcií so zodpovedajúcimi energetickými funkciami vidíme, že sú lineárne (s násobnou konštantou). Tieto nové funkcie sú niekedy tiež nazývajú energetickými funkciami, hoci už nemajú fyzikálny význam energie. Zrejme sú tiež pozitívne semi-definitné, pretože každý z nich zodpovedá rovnakej matici, ako zodpovedajúcej energetickému funkcií. (imitácia)

### 10.2. Vlastnosti obvodových funkcií.

Obráťme teraz svoju pozornosť k vyšetrovaniu vlastností obvodových funkcií z praxe definovaných energetických funkcií. Pozitívne semi-definitný charakter energetických funkcií sa vyrazne prejaví vo vlastnostiach rôznych obvodových funkcií.

Uvažujme teraz obvod s ľahkým prútom v omkajšiči svoriek, b.j. jeanobvodu (duojpól). Pre tento prípad platí  $U_i = 0$  pre  $i \geq 1$ . Dosadením  $U_i \geq 0$  pre  $i \geq 1$  do (14.9) dostávame:

$$U_1 \mathbf{\bar{I}}_1 = \mathbf{F}_0 + \mathbf{P} \mathbf{T}_0 + \frac{1}{p} \mathbf{D}_0 \tag{16.9}$$

Ustupnú impedanciu  $Z(p)$  a vstupnú admitanciu  $Y(p)$  vypočítame takto:

$$U_1 \bar{I}_1 = F_0 + pT_0 + \frac{1}{p}U_0$$

$$\bar{U}_1 I_1 = F_0 + \bar{p}T_0 + \frac{1}{\bar{p}}U_0$$

$$\frac{U_1}{I_1} I_1 \bar{I}_1 = Z(p) |I_1|^2$$

$$U_1 \bar{U}_1 \frac{I_1}{U_1} = Y(p) |U_1|^2$$

$$Z(p) |I_1|^2 = F_0 + pT_0 + \frac{1}{p}U_0$$

$$Y(p) |U_1|^2 = F_0 + \bar{p}T_0 + \frac{1}{\bar{p}}U_0$$

$$Z(p) = \frac{1}{|I_1|^2} (F_0 + pT_0 + \frac{1}{p}U_0) \quad (17.9)$$

$$Y(p) = \frac{1}{|U_1|^2} (F_0 + \bar{p}T_0 + \frac{1}{\bar{p}}U_0) \quad (18.9)$$

Keďže tieto vzťahy sú veľmi dôležité, lebo vyjadrujú vzťah medzi  $Z(p)$  a  $Y(p)$  a energetickými funkciami. Ušetríme si, že  $Z(p)$  a  $Y(p)$  niesu vo vzťahoch (17.9) a (18.9) explicitnými výrazmi premennej  $p$  pretože i vlastné energetické funkcie sú funkciami  $p$ , lebo prúdy  $I_i$  sú funkciami premennej  $p$ .

Pozrime sa bližšie na výraz pre impedanciu  $Z(p)$  (admitanciu  $Y(p)$ ). Účasti  $F_0, T_0$  a  $U_0$  sú vždy reálne a nezáporné pre všetky hodnoty premennej  $p$ . Druhá mocnina modulu  $|I_1|^2$  ( $|U_1|^2$ ) je tiež kladná. Pre reálne  $p$  bude  $Z(p)$  ( $Y(p)$ ) reálne. Ak bude  $p$  komplexné s nezápornou reálnou časťou, bude impedancia  $Z(p)$  ( $Y(p)$ ) komplexná s nezápornou reálnou časťou. Funkcie, ktoré majú tieto vlastnosti, t.j.:

1. sú reálne pre reálne hodnoty  $p$
2. ich reálna časť je nezáporná pre nezápornú reálnu časť premennej  $p$

zjavne pozitívne reálnymi funkciami (PRF). Z uvedeného plynie, že vstupná impedancia alebo admitancia sú pozitívne reálne funkcie. Doznamenáme, že impedancia  $Z(p)$  a admitancia  $Y(p)$  sa označujú spoločným menom imitancné funkcie.

Keďže vo vzťahu (17.9) závisia energetické funkcie tiež má komplexnou kmitočku  $p$ , vypočítajme formálne nulové body impedančnej funkcie  $Z(p)$ :

$$\frac{1}{\Pi_1^2} (F_0 + pT_0 + \frac{1}{p}V_0) = 0$$

$$F_0 + pT_0 + \frac{1}{p}V_0 = 0$$

$$p^2T_0 + pF_0 + V_0 = 0$$

$$p^2 + p \frac{F_0}{T_0} + \frac{V_0}{T_0} = 0 \quad \text{z čoho:}$$

$$p_{1,2} = -\frac{F_0}{2T_0} \pm \sqrt{\left(\frac{F_0}{2T_0}\right)^2 - \left(\frac{V_0}{T_0}\right)} \quad (19.9)$$

Energetické funkcie sú reálne a nezerpormé, i keď sú funkciami  $p$ . Jediné preto platí

$$-\frac{F_0}{2T_0} \leq 0 \quad (20.9)$$

je zrejme, že nulové body impedančnej funkcie nemôžu ležať v pravej polrovine, ale ležia v ľavej polrovine roviny  $(p)$ , alebo na imaginárnej osi.

V prípade bezstratových obvodov (LC) je  $F_0 = 0$ . Pre tento prípad dostávame z (19.9):

$$p_{1,2} = \sqrt{-\frac{V_0}{T_0}} = \pm j \sqrt{|V_0|/T_0} \quad (21.9)$$

vidíme, že v tomto prípade ležia nulové body  $Z(p)$  na imaginárnej osi a sú komplexne združené. Podobne pre RC ( $T_0 = 0$ ) a RL obvody ( $V_0 = 0$ ) dostávame:

$$F_0 + \frac{1}{p}V_0 = 0$$

$$F_0 + pT_0 = 0$$

$$pF_0 + V_0 = 0 \Rightarrow p_{1,2} = -\frac{V_0}{F_0} \quad (\text{RC}) \quad (22.9)$$

$$p_{1,2} = -\frac{F_0}{T_0} \quad (\text{RL}) \quad (23.9)$$



Pretože  $F_0, V_0, a$  a  $T_0$  sú vždy kladné, ležia nulové body  $Z(p)$  obvodov  $RL$  a  $RC$  na zápornej časti reálnej osi.

Analogické úvahy možno previesť i pre admitančnú funkciu  $Y(p)$ . Ak teraz uvažíme tiež, to že nuly  $Z(p)$  zodpovedajú pólu  $Y(p)$  a póly  $Y(p)$  zodpovedajú pólu  $Z(p)$ , tak môžeme získať poznatky o póloch a póloch imitancných funkcií zhrnúť takto:

1. Nulové body a póly imitancných funkcií pasívnych dvojpólov musia ležať v uzavretej ľavej polrovine komplexných čísel. Uzavretou polrovinou rozumieme polrovinu nahor (alebo napravo) od imaginárnej osi, vrátane tejto osi a bodov v nekonečne.
2. Všetky nulové body a póly imitancných funkcií reaktívnych dvojpólov (obvody  $LC$ ) ležia na imaginárnej osi.
3. Všetky nulové body a póly  $RC$  a  $RL$  obvodov ležia na kladnej časti reálnej osi.

Uvažujme teraz pasívny dvojpól, ktorý pozostáva z dieťa ~~dieťa~~ dvojpólu, z ktorých každý je tvorený sériovým zapojením rezistora, induktora a kapacitora. Každý taký dvojpól nech tvorí vetvu sústavy pre ktorú velku môžeme zapísať impedanciu v operátorovej tvare takto:

$$Z_i = R_i + pL_i + \frac{1}{pC_i} \tag{24.9}$$

reapohládajme, že analyzujeme vyššie opísanú sústavu metódou účtovných prúdov. Ak zvolíme nezávislé slučky abctolček, všetky nuly impedancnej matice v hlavnej diagonále i mimo nej majú -týmto prípadu tvar

$$Z_{ki} = Z_i + pL_{ki} + \frac{1}{pC_{ki}} \tag{25.9}$$

re vstupnú impedanciu potom dostávame:

$$Z(p) = \frac{\Delta}{\Delta_1 = 1} \tag{26.9}$$

ak ustápná slučka je označovaná 1. Ak má analyzovaná sieťava m nezávislých slučiek tak pre determinant  $\Delta$  a  $\Delta_{i:1}$  (algebraický doplnok  $\Delta_{i:1}$ ) dostávame:

$$\Delta = \begin{vmatrix} z_{11} & z_{12} & \dots & z_{1m} \\ z_{21} & z_{22} & \dots & z_{2m} \\ \vdots & \vdots & \ddots & \vdots \\ z_{m1} & z_{m2} & \dots & z_{mm} \end{vmatrix} = \begin{vmatrix} z_{11} & & & \\ z_{21} & z_{22} & & \\ \vdots & \vdots & \ddots & \vdots \\ z_{m1} & z_{m2} & \dots & z_{mm} \end{vmatrix} \quad (27.9)$$

$$= B_m p^m + A_{m-1} p^{m-1} + \dots + B_0 + B_{-1} \bar{p}^1 + B_{-2} \bar{p}^2 + \dots + B_{-m} \bar{p}^{-m}$$

$$\Delta_{11} = \begin{vmatrix} z_{22} & z_{23} & \dots & z_{2m} \\ z_{32} & z_{33} & \dots & z_{3m} \\ \vdots & \vdots & \ddots & \vdots \\ z_{m2} & z_{m3} & \dots & z_{mm} \end{vmatrix} = \begin{vmatrix} z_{22}'' & & & \\ z_{32}'' & z_{33}'' & & \\ \vdots & \vdots & \ddots & \vdots \\ z_{m2}'' & z_{m3}'' & \dots & z_{mm}'' \end{vmatrix} \quad (28.9)$$

$$= A_{m-1} p^{m-1} + A_{m-2} p^{m-2} + \dots + A_0 + A_{-1} \bar{p}^1 + A_{-2} \bar{p}^2 + \dots + A_{-m} \bar{p}^{-m}$$

Kde využili tu vlastnosť determinantu, podľa ktorej sa hodnota determinantu nezmení ak k niektorému z riadkov pripočítame lineárnu kombináciu ostatných riadkov determinantu. Týmto postupom upravíme ~~matrice~~ matrice do trojuholníkovej tvary, ktorej determinant sa rovná súčinu jej diagonálnych prvkov. Pre diagonálne prvky matrice  $Z'z'$  - ~~to~~ touto operáciou platí:

$$z_{ii} = R_{ii} + pL_{ii} + \frac{C_{ii}}{p} \quad \begin{vmatrix} a_{11} & a_{12} & \dots & a_{1m} \\ a_{21} & a_{22} & \dots & a_{2m} \\ \vdots & \vdots & \ddots & \vdots \\ a_{m1} & a_{m2} & \dots & a_{mm} \end{vmatrix} = \sum_{j=1}^m (-1)^j a_{1j} a_{21} \dots a_{jm} \quad (29.9)$$

Pre  $\Delta$  a  $\Delta_{i:1}$  dostávame:

$$\Delta = \prod_{i=1}^m z_{ii} \quad , \quad \Delta_{i:1} = \prod_{i=2}^m z_{ii} \quad (30.9)$$

Po roznašobení (30.9) dostávame vzťahy (24.9) a (28.9). Použitím týchto vzťahov, pre impedanciu  $Z(p)$  dostávame:

$$Z(p) = \frac{B_m p^m + B_{m-1} p^{m-1} + \dots + B_0 + \dots + B_{-1} \bar{p}^1 + B_{-2} \bar{p}^2 + \dots + B_{-m} \bar{p}^{-m}}{A_{m-1} p^{m-1} + A_{m-2} p^{m-2} + \dots + A_0 + \dots + A_{-1} \bar{p}^1 + A_{-2} \bar{p}^2 + \dots + A_{-m+1} \bar{p}^{-m+1}} \cdot 1/p^m \quad (31.9)$$

č.j.

$$Z(p) = \frac{B_m p^{2m} + B_{m-1} p^{2m-1} + \dots + B_m}{A_{m-1} p^{2m-1} + A_{m-2} p^{2m-2} + \dots + A_{-m+1} p} \quad (32.9.)$$

Uzťah (32.9) môžeme ďalej prepísať do tohoto tvaru:

$$Z(p) = \frac{b_r p^r + b_{r-1} p^{r-1} + b_{r-2} p^{r-2} + \dots + b_1 p + b_0}{b_s p^s + b_{s-1} p^{s-1} + b_{s-2} p^{s-2} + \dots + a_1 p + a_0} = \frac{B(p)}{A(p)} \quad (33.9)$$

de  $r = s + 1$ , t.j. stupeň čitateľa je o jednotku väčší ako stupeň menovateľa.

V niektorých prípadoch môžu jeden alebo dva prvky chýbať. Ak chýbajú vo všetkých prípadoch rezistory, skladá sa celá sústava len z akumuláčnych prvkov. Taký dvojpól nazývame reaktančným dvojpólom. Touto prípadne bude platiť:

$$z_{ii} = p L_{ii} + \frac{1}{p C_{ii}} \quad (34.9)$$

a zohľadne rovnakého postupu ako v predošlom, zisťujeme, že mocniny  $B(p)$  a  $A(p)$  majú byť len párne alebo nepárne mocniny. Ak  $B(p)$  len párne mocniny, má  $A(p)$  len nepárne mocniny, a naopak.

Ak obsahuje ústupnica slučka len rezistory, tak  $z_{11} = R_{11}$  a eto  $r = s$ . Ak  $z_{11} = \frac{1}{p C_{11}}$ , tak  $r = s - 1$ . Preto pre imitančnú funkciu (ak urobíme podobné úvahy i pre  $Y(p)$ ) platí:

$$r = s + 1 \qquad r = s \qquad r = s - 1 \qquad (35.9)$$

j. stupeň čitateľa a menovateľa imitančnej funkcie sa môže líšiť maximálne o jednotku.

Ďalšie vlastnosti imitančných funkcií pasívnych sústav, opísaných vzťahom (33.9), možno zhrnúť do nasledujúcich bodov:

- 1) IF sú PRF.
  - 2) Ak sú  $f(p)$  a  $g(p)$  PRF, tak i  $f[g(p)]$  alebo  $g[f(p)]$  sú PRF.
- Fyzikálny význam tejto vlastnosti spočíva v tom, že  $g(p)$  sú impedancie dvojpólov pasívnych dvojpólov, je impedancia ľubovoľného spojenia dvojpólov opäť PRF.

(148)

3. Ak je  $f(p)$  PRF, potom i  $1/f(p)$  je PRF. Fyzikálne to znamená, že  $Z(p)$  a  $Y(p)$  sú PRF. Okrem toho  $C/f(p)$  je PRF.

5. Ak je  $f(p)$  PRF a ak má nulové body a póly na imaginárnej osi alebo v nekonečne sú jednoducho a ležia v komplexne združených dvojiciach okolo bodu  $p=0$ , ktorý môže byť nulou alebo pólom.

Dôkaz:

Rozvieme  $f(p)$  do Taylorovho radu v okolí nulového bodu  $p_0 = j\omega_0$ :

$$f(p) = f(j\omega_0) + \frac{f'(j\omega_0)}{1!} (p - j\omega_0) + \frac{f''(j\omega_0)}{2!} (p - j\omega_0)^2 + \dots, \quad (36.9)$$

$$\text{keď } f(p_0) = f(j\omega_0) = 0 \quad (37.9)$$

Druhý člen <sup>by</sup> bol nulový, ak by  $p_0$  bol dvojnásobným koreňom  $f(p) = 0$ . Impedančná funkcia je regulárna v celej pravej polrovíni, takže splňuje Cauchyho-Riemannove podmienky

$$\frac{\partial \operatorname{Re} [Z(\sigma, \omega)]}{\partial \sigma} = \frac{\partial \operatorname{Im} [Z(\sigma, \omega)]}{\partial \omega} \quad \frac{\partial \operatorname{Re} [Z(\sigma, \omega)]}{\partial \omega} = - \frac{\partial \operatorname{Im} [Z(\sigma, \omega)]}{\partial \sigma} \quad (38.9)$$

Uvažujme teraz reaktívny dvojpoľ, ktorý dokladáme zo (14.9):  
pri  $F_0 = 0$  (pre  $|F_1|^2 = 1$ )

$$\begin{aligned} Z(p_2) &= p_2 T_0 + \frac{1}{p} U_0 = (\sigma + j\omega T_0) + \frac{1}{\sigma + j\omega} U_0 = \\ &= \sigma T_0 + \frac{\sigma}{\sigma^2 + \omega^2} U_0 + j\omega \left[ T_0 - \frac{\omega}{\sigma^2 + \omega^2} U_0 \right] \end{aligned} \quad (39.9)$$

$$\frac{\partial \operatorname{Re} [Z(\sigma, \omega)]}{\partial \sigma} = T_0 + \frac{\sigma^2 + \omega^2 - \sigma(2\sigma)}{(\sigma^2 + \omega^2)^2} U_0 +$$

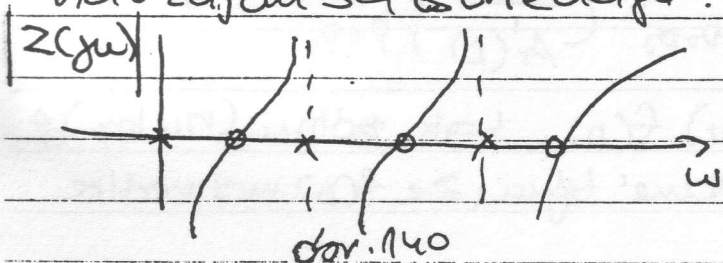
$$+ \sigma \frac{\partial T_0}{\partial \sigma} + \frac{\sigma}{\sigma^2 + \omega^2} U_0$$

pre  $\delta = 0$  platí (no imaginárnej osi rovnú  $\text{Re}$ ):

$$\frac{\partial \text{Re}[Z(\sigma, \omega)]}{\partial \sigma} \Big|_{\sigma=0} = \frac{\partial X}{\partial \omega} \Big|_{\sigma=0} = \frac{1}{\omega^2} > 0 \quad (40.9)$$

etože to  $\omega_0$  nenadobúajú záporné hodnoty. Z rovnice 40.9) plynie, že derivácia reaktancnej funkcie podľa reálneho nutožtu je kladná, a teda ureje nulová ani u nulovou sde  $p_0 = j\omega_0$ , takže nulový bod nemôže byť dvojnásobný, ani viacnásobný.

Zo vzťahu (40.9) plynie tiež to, že nuly a póly reaktancnej funkcie <sup>ležia</sup> ležia na imaginárnej osi, sú jednoduché a navzájom sa striedajú!



$$\text{res} f(z) = \frac{1}{(m-1)!} \lim_{z \rightarrow z_k} \frac{d^{m-1}}{dz^{m-1}} [(z-z_k)^m f(z)]$$

) Ak je  $p_0 = j\omega_0$  pólom  $f(s)$ , tak  $\text{Re} z \{ f(s) \} |_{p=j\omega_0}$  je reálna a kladná.

Poznačka o reziduách funkcie  $f(z)$ :

Rozvíňme funkciu  $f(z)$  v okolí ktoréhokolvek jednoduchého singulárneho bodu (napr.  $z_k$ ) do Laurentovho radu, ktový je v tvare:

$$f(z) = \frac{a_{-1}}{z-z_k} + a_0 + a_1(z-z_k) + a_2(z-z_k)^2 + \dots \quad (41.9)$$

Člen  $\frac{a_{-1}}{z-z_k}$  nazývame hlavnou časťou radu a koeficient

$a_{-1}$  je reziduom funkcie  $f(z)$  v bode  $z_k$ .

čunice (42.9) môžeme formálne prepísať do tvaru

$$f(z) = \frac{a_{-1}}{z - z_k} + f_0(z) \quad (43.9)$$

v ktorom je  $f_0(z)$  v okolí bodu  $z = z_k$  zrejme funkciou regulárnou. Potom pre reziduum  $f(z)$  platí:

$$\operatorname{Res}_{z=z_k} f(z) = a_{-1} = \lim_{z \rightarrow z_k} [f(z)(z - z_k)] \quad (44.9)$$

Vychádzajúc z tohto vzťahu, reziduum  $f(p)$  v jednoduchom póle môžeme podľa vzťahu

$$\operatorname{Res} \{f(p)\}_{p=p_0} = \lim_{p \rightarrow p_0} [f(p)(p - p_0)] = \left\{ \frac{B(p)}{A'(p)} \right\}_{p=p_0} \quad (45.9)$$

Ⓜ. Ak je  $p = \sigma_0 + j\omega_0$  pólom (nulou)  $f(p)$ , tak pólom (nulou) je tiež i  $p = \sigma_0 - j\omega_0$ , čo je dôsledkom toho, že  $f(p)$  má reálne koeficienty.

Ⓝ. Ak je  $f(p)$  PRF, je jej reálna časť párnou funkciou  $\omega$ , kým imaginárna časť  $f(p)$  je nepárnou funkciou  $\omega$ .

$$\begin{aligned} \operatorname{Re} [Z(j\omega)] &= \operatorname{Re} [Z(j\omega)] \\ \operatorname{Im} [Z(j\omega)] &= -\operatorname{Im} [Z(j\omega)] \end{aligned} \quad (46.9)$$

Ⓞ. Stupeň polynómu čitateľa a menovateľa <sup>limitomnej</sup> ~~preto~~ ~~čovej~~ fcie sa môžu líšiť najviac o jednotku, t.j.

103. ~~Reálnosti reálnej a imaginárnej časti impedancii pasívnej dvojpoľu~~

0.3. Vztah mezi reálnou a imaginární částí impedancí pasívného dvoj pólu.

Uvažujme impedanci  $Z(p)$ . Potom pro  $p=j\omega$  možno  $Z(j\omega)$  vyjádřit v tomto tvaru

$$Z(j\omega) = A(\omega) + jB(\omega) \quad (47.9)$$

posledně uvedeného vztahu je zřejmé, že  $A(\omega)$  reprezentuje reálnou část impedancie  $Z(j\omega)$  a  $B(\omega)$  reprezentuje imaginární část impedancie  $Z(j\omega)$ . Zavedeme teraz koeficient  $A_\infty$  takto:

$$A_\infty = \lim_{\omega \rightarrow \infty} \operatorname{Re} [Z(j\omega)] \quad (48.9)$$

• j.  $A_\infty$  je fyzikálně dané reálnou hodnotou impedancie  $Z(j\omega)$  při nekonečně velké kmitočet  $\omega$ . Vycházejíc z těchto definicí  $A_\infty$ ,  $A(\omega)$ ,  $B(\omega)$ , je možné ukázat, že mezi reálnou a imaginární částí  $Z(j\omega)$  platia tieto vztahy:

pre  $\omega = \omega_0$

$$B(\omega_0) = \frac{1}{\pi} \int_{-\infty}^{\infty} \frac{A(\omega)}{\omega - \omega_0} d\omega \quad (49.9)$$

$$A(\omega_0) - A_\infty = -\frac{1}{\pi} \int_{-\infty}^{\infty} \frac{B(\omega)}{\omega - \omega_0} d\omega \quad (50.9)$$

Vztahy (49.9) a (50.9) sú známe ako Hilbertova transformácia.

týchto vztahom plynie, že reálna a imaginárna časť  $Z(j\omega)$  má sú funkcií nezvislé, a teda poznáme  $A(\omega)$  resp.  $B(\omega)$ , tak vychádzajíc zo (49.9) (resp. 50.9), možno počítať  $B(\omega)$  (resp.  $A(\omega)$ ). Z rovnakého dôvodu, sú závislé na  $|Z(j\omega)|$  a  $\arg [Z(j\omega)]$ , nahodku a platí:

$$|Z(j\omega)| = \sqrt{A^2(\omega) + B^2(\omega)} \quad \arg Z(j\omega) = \arctan \frac{B(\omega)}{A(\omega)} \quad (51.9)$$

10.4. Rozloženie nul a pólov LC dvojpólov.

Uvažujme reaktívny (LC) dvojpól pozostávajúci z  $n$  nezávislých slučiek. Potom každý prvok prvého deliteľníka  $\Delta$  sústavy ZIL má tvar:

$$Z_{ik} = p L_{ik} + \bar{p}^1 D_{ik} \quad (52.9)$$

Uzuplná impedancia je daná vzťahom

$$Z(p) = \frac{\Delta}{\Delta_{11}}$$

Vychádzajúc z úvah uvedených v kapitole (10.2), možno potom pre vstupnú impedanciu písať:

$$Z(p) = \frac{a_{2n} p^{2n} + a_{2n-2} p^{2n-2} + \dots + a_4 p^4 + a_2 p^2 + a_0}{b_{2n-1} p^{2n-1} + b_{2n-3} p^{2n-3} + \dots + b_5 p^5 + b_3 p^3 + b_1 p} \quad (53.9)$$

Funkciu  $Z(p)$  nazývame reaktívnou funkciou. Podobne úvahy možno urobiť i pre  $Y(p)$  (vstupnú admitanciu sústavy). Vychádzajúc z teórie PRF a z kapitoly (10.2) možno povedať, že imitívne funkcie LC dvojpólov majú tieto vlastnosti:

1. Reaktívna funkcia je nepárna, pretože platí  $f(p) = -f(p)$ .
2. Pre  $p = j\omega$ ,  $f$  vyjadzo imaginárna, t.j.  $f(j\omega) = jX(\omega)$ , kde  $X(\omega)$  je reálna funkcia.
3. Nuly a póly reaktívnej funkcie ležia na imaginárnej osi a striedajú sa.
3. Stupeň čitateľa reaktívnej funkcie sa líši od stupňa menovateľa vždy o 1. To ale znamená, že pre  $p=0$  a  $p=\infty$  leží vždy nula alebo pól.



Impedanciu  $Z(p)$  môžeme vyjadriť vo faktorizovanej forme

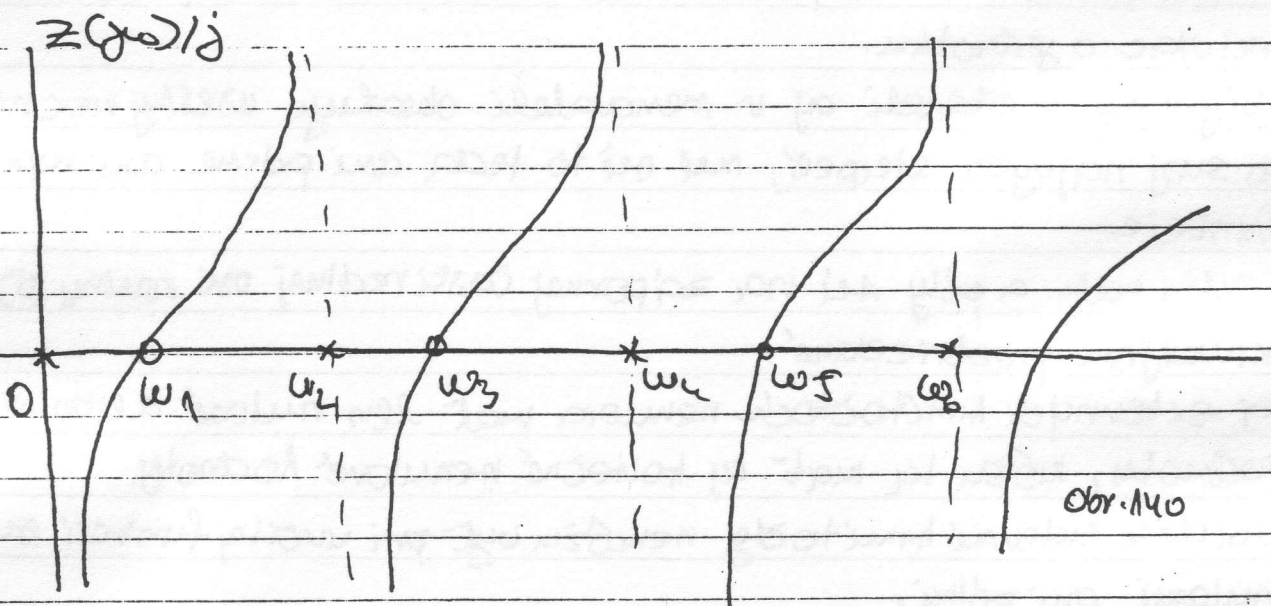
takto:

$$Z(p) = k \frac{(p^2 - p_1^2)(p^2 - p_2^2) \dots (p^2 - p_{2n-1}^2)}{p(p^2 - p_2^2)(p^2 - p_4^2) \dots (p^2 - p_{2n-2}^2)} \quad (54.9)$$

a  $p = j\omega$  dostávame:

$$Z(j\omega) = k \frac{(\omega_1^2 - \omega^2)(\omega_3^2 - \omega^2) \dots (\omega_{2n-1}^2 - \omega^2)}{j\omega(\omega_2^2 - \omega^2)(\omega_4^2 - \omega^2) \dots (\omega_{2n-2}^2 - \omega^2)} \quad (55.9)$$

Analýzou z (55.9) možno graficky zvidieť závislosť  $Z(j\omega)/j$  a zovrieť takto:



dly  $\omega_2, \omega_4$  a  $\omega_6$  sa nazývajú internými pólmí  $Z(j\omega)$ ,  
 a nuly  $\omega_1, \omega_3$  a  $\omega_5$  sa nazývajú internými nulami  $Z(j\omega)$ .  
 dly  $\omega = 0$  a  $\omega \rightarrow \infty$  sa nazývajú externými pólmí.

### 5. Rozloženie nul a pólov RC obvodov.

Uvažujme ľubovoľne zložitý RC dvojpól, ktorý má  $n$  reálnych pólov, pričom každý prvok determinandy prislúchajúcej sústavy rovníc (27.9.) má tvar:

$$Z_{ij} = R_{ij} + P_{ij} \quad (56.9.)$$

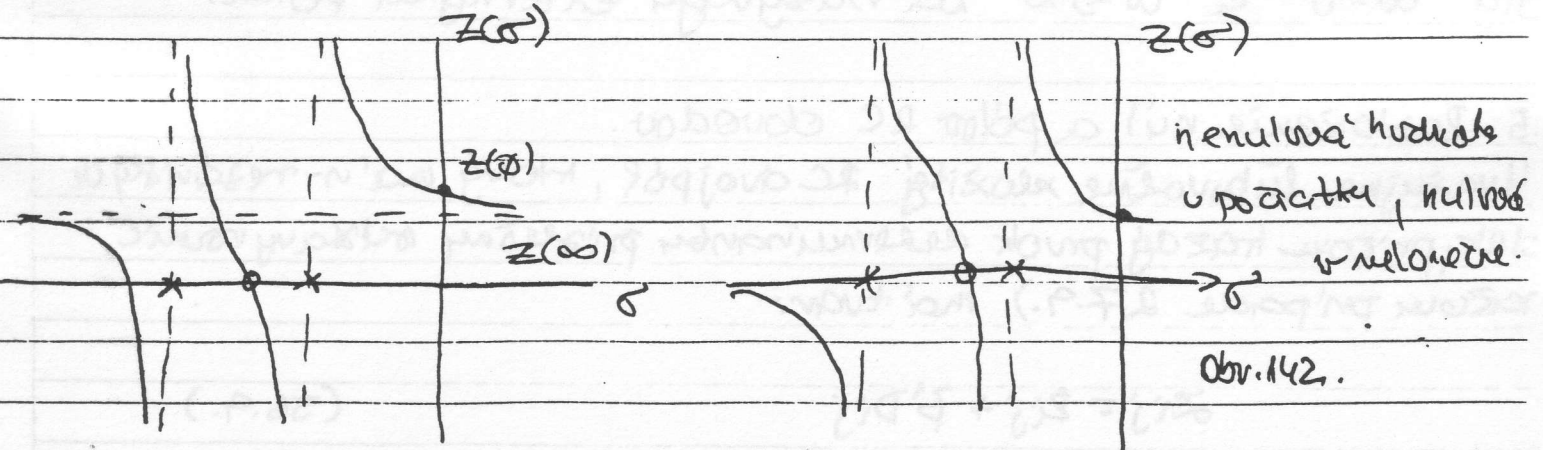
tu, použijúc postup uvedený v kapitole (10.2.) pre uzápnúť  
 a zovrieť sústavu do-  
 a-  
 a-  
 a-

$$Z(p) = \frac{a_n p^n + a_{n-1} p^{n-1} + a_{n-2} p^{n-2} + \dots + a_1 p + a_0}{b_n p^n + b_{n-1} p^{n-1} + b_{n-2} p^{n-2} + \dots + b_1 p + b_0} = \quad (54.9)$$

$$= k \frac{(p+p_1)(p+p_2)\dots(p+p_{2n-1})}{p(p+p_2)(p+p_4)\dots(p+p_{2n-2})} \quad (55.9)$$

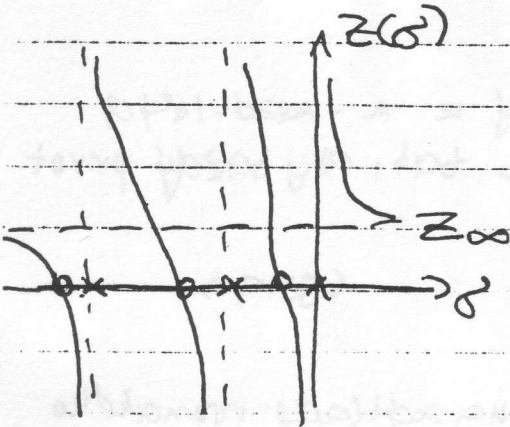
kde  $k = a_0/b_0$  je reálne číslo a  $p_{2k-1}$  ( $k=1,2,\dots,n$ ) sú nuly a  $p_{2k}$  ( $k=1,2,\dots,n-1$ ) sú póly  $Z(p)$ . Analyzovanou vlastnosťou impedančných funkcií RC obvodov (dvoj pólov), možno ukázať, že pasívne RC dvoj póly majú tieto vlastnosti:

1. Stupeň čitateľa môže, ale nemusí sa líšiť od stupňa menovateľa najviac o jednotku.
2. Polynom v čitateli aj v menovateli obsahuje všetky mocniny až po svoj najvyšší stupeň, keď sú to teda ani páry ani nepáry funkcie.
3. Všetky nuly a póly sú na zápornej časti reálnej osi rovniny  $\sigma$  a sú navzájom pretrievané.
4. Pri externých kmitočtoch nemusia mať len nulové alebo nekonečné hodnoty, môžu tu mať aj konečné nenulové hodnoty.
5. Obvody externé kmitočty nemôžu byť pri uvoľnenej funkcii súčasnými nulami ani pólmi.
6. Typické priebehy impedančných funkcií RC (alebo admitančných fcií RL):

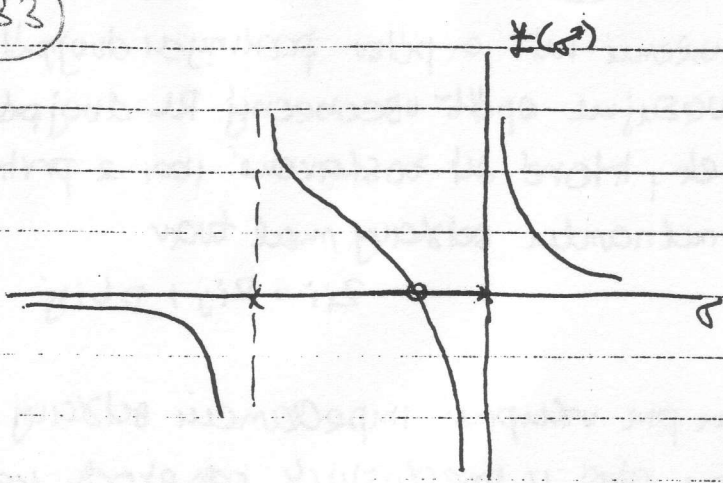


nenulová hodnota v počiatku, nulová v nekonečne.  
Obr. 142.

nenulová hodnota v počiatku a nekonečne  
Obr. 141

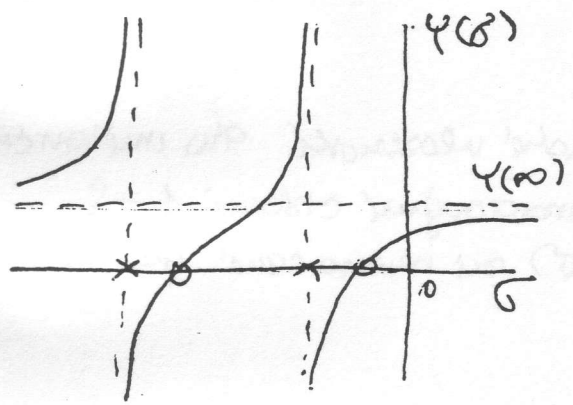


pól u počiatku, nulová hodnota u nekonečna.  
Obr. 143.

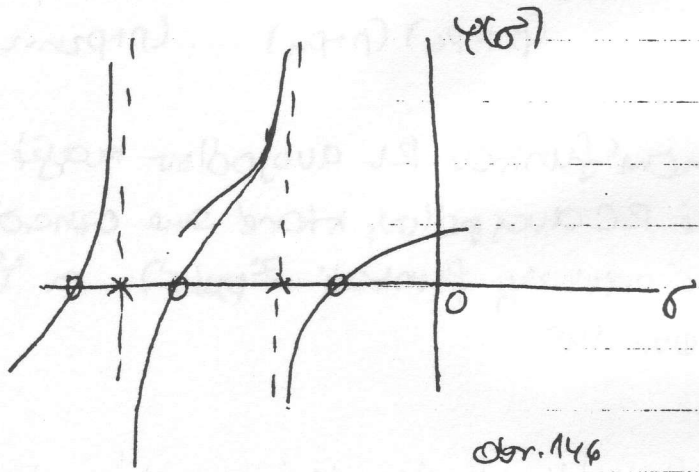


pól u počiatku a nulový bod nekonečna.  
Obr. 144.

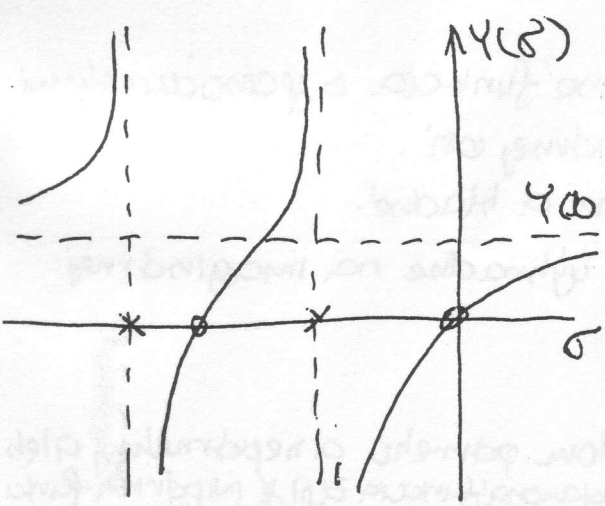
Typické priebehy admitančných funkcií RC alebo impedančných funkcií RL:



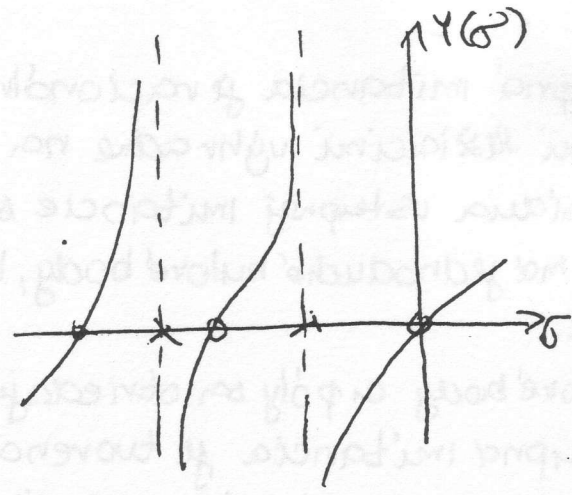
nenulová hodnota v počiatku, a nula u nekonečna. Obr. 145



nenulová hodnota v počiatku, pól u ∞. Obr. 146



nulový bod v počiatku, a nenulová hodnota u ∞. Obr. 147



nulový bod v počiatku, pól u nekonečna. Obr. 148.



Rozložení níl a pólů pasívnyho dvojpólu RL.

Uvažujme opět všeobecný RL dvojpól, složený z  $m$  - nezávislých  
 součástek, které sú zastavené iba z prvků RL tak, aby každý prvot  
 determinandu součiny měl tvar

$$Z_{ij} = R_{ij} + pL_{ij} \quad (58.9)$$

Potom pro vstupní impedanci součiny, možno na základě rovnakého  
 podupu ako u predošlých seřetok napísať tieto výrazy.

$$Z(p) = \frac{b_m p^m + b_{m-1} p^{m-1} + \dots + b_1 p + b_0}{q_{m-1} p^{m-1} + q_{m-2} p^{m-2} + \dots + q_1 p + q_0} =$$

$$= k \frac{(p+p_1)(p+p_3) \dots (p+p_{2m-1})}{(p+p_2)(p+p_4) \dots (p+p_{2m-2})} \quad (59.9)$$

Imitance funkcie RL dvojpólu majú rovnaké vložnosti ako imitance  
 funkcie RC dvojpólu, ktoré sú označili poradovými čísami 1-5.  
 Typické priebehy funkcií  $Z_{RL}(s)$  a  $Y_{RL}(s)$  sú naznačené na obr.  
 141 ÷ obr. 148.

11.4. Simulácia charakteristických funkcií dvojpólu RL pomocou základných prvků.

1. Úvod

1. Vstupná imitancia je racionálna lomená funkcia s jednoduchými  
 pólmi ležiacimi uhradne na imaginárnej osi.

2. Režancia vstupnej imitancie sú reálne a kladné.

3.  $\text{OI}$  má jednoduché nulové body, ležiace uhradne na imaginárnej  
 ose.

4. Nulové body a póly sa striedajú.

5. Vstupná imitancia je tvorená podielom párneho a nepárneho, alebo  
 nepárneho a párneho mnohočlena. Reaktančná funkcia  $Z(p)$  je nepárna funkcia  
 Pre  $p=j\omega$  je reálna-imaginárna

6. Derivácia reaktancie alebo susceptancie podľa  $\omega$  je vždy kladná

## 7) OBVODY RL A RC.

### \* $Z_{RC}(p)$ a $Y_{RL}(p)$

1. Sú racionálne lomeneé funkcie s jednoduchými pólmi, ležiacimi na zápornej časti reálnej osi.
2. Reziádua  $Z_{RC}(p)$  a  $Y_{RL}(p)$  sú vo všetkých póloch kladné.
3. V nekonečne neexistí pól.
4. Jednoduché nulové body ležia na zápornej časti reálnej osi.
5. Nulové body a póly sa striedajú.
6. Prvý významný bod na reálnej osi, počítajúc od počiatku, je pól.

### Fcie $Y_{RC}(p)$ a $Z_{RL}(p)$ :

1. Sú racionálne lomeneé funkcie s jednoduchými pólmi, ležiacimi na zápornej časti reálnej osi.
2. Reziádua funkcií  $Z_{RL}(p)/p$  a  $Y_{RC}(p)/p$  sú kladné
3. V bode  $p$  neexistí pól
4. Jednoduché nulové body ležia na zápornej časti reálnej osi.
5. Nulové body a póly sa striedajú
6. Prvý významný bod na reálnej osi, počítajúc od počiatku je nulový bod.

1. Systém je stabilný

2. Systém je asymptoticky stabilný, ak všetky póly sú v ľavostrannej polohe

3. Systém je neutrálne stabilný, ak

a základe vlastností LC dvojpólov, ktoré sme opísali v predošlých kapitolách, sme, že pre vstupnú impedanciu LC dvojpólu platí:

$$Z(p) = \frac{R}{P} \frac{b_0 + b_2 p^2 + b_4 p^4 + \dots}{a_1 + a_3 p^3 + a_5 p^5 + \dots} = \frac{(p^2 + \omega_1^2)(p^2 + \omega_3^2)(p^2 + \omega_5^2) \dots}{(p^2 + \omega_2^2)(p^2 + \omega_4^2)(p^2 + \omega_6^2) \dots} \frac{R}{P} \quad (60.10)$$

redení racionálne lomeneé funkcie možno rozložiť na parciálne zlomky takto:

$$Z(p) = \frac{k_0}{P} + k_{\infty} p + \sum_{i=1}^n \frac{2k_i p}{p^2 + \omega_{2i}^2} \quad i=0, 2, 4, \dots, 2n-2 \quad (61.10)$$

de  $k_0$ ,  $k_{\infty}$  a  $k_i$  sú v správnom zmysle rezídua impedancie

funkcie v príslušných poloch a ako také sú nezodporne. Režidua určime podľa rovnice:

$$k_0 = Z(p) \cdot p \Big|_{p=0}$$

$$k_{\infty} = \lim_{p \rightarrow \infty} \frac{Z(p)}{p}$$

$$2k_i = \left[ Z(p) \frac{p^2 + \omega_{zi}^2}{p} \right]_{p^2 = -\omega_{zi}^2}$$

(62.10)

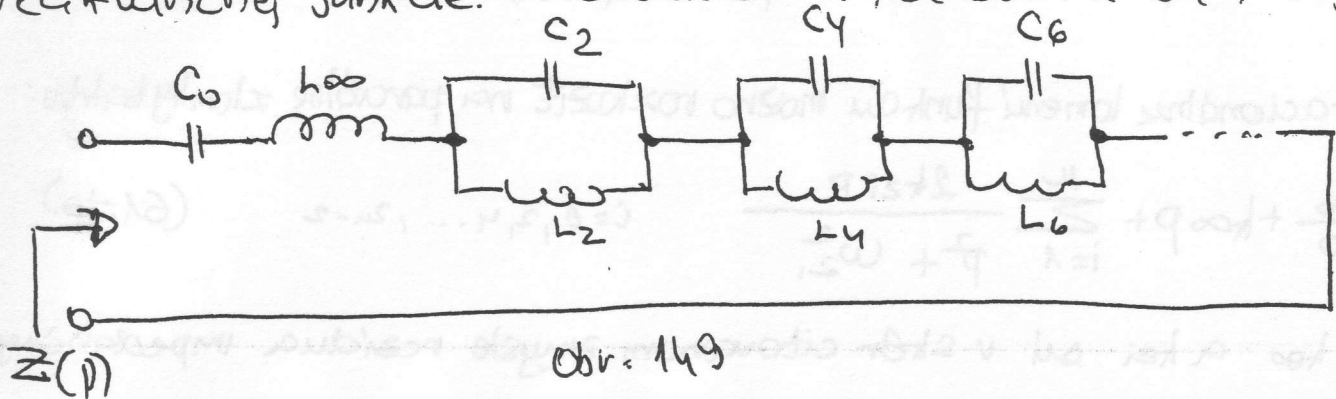
Funkcia  $Z(p)$  je vo vzťahu (61.10) rozložená na súčet dielčích funkcií  $Z_i(p)$ , to znamená, že predstavuje do série spojené dvoj póly a impedanciami  $Z_i$  (1). Ďalej je zrejmé, že tiež dielčie funkcie  $Z_i(p)$  sú PRF. Fyzikálny zmysel (61.10) urobíme lepšie, ak (61.10), upravíme do tvaru:

$$Z(p) = \frac{1}{p \cdot k_0} + p k_{\infty} + \sum_{i=1}^n \frac{1}{p \cdot \frac{1}{2k_i} + \frac{1}{p \frac{2k_i}{\omega_{zi}^2}}} = \frac{1}{p C_0} + p L_{\infty} + \sum_{i=1}^n \frac{1}{p C_i + \frac{1}{p L_i}} \quad (63.10)$$

Z rovnice (63.10) zistíme, že platí:

$$C_0 = \frac{1}{k_0} \quad L_{\infty} = k_{\infty} \quad C_i = 1/2k_i \quad L_i = 2k_i/\omega_{zi}^2 \quad (64.10)$$

takže rovnica (63.10) reprezentuje dvoj pól na obr. 149. Z predšlých rovníc vyplýva, že rezonančné obvody na obr. 149, rezonujú pri frekvenciách  $\omega_i^2 = 1/L_i C_i$ , kde  $\omega_i$  súčasne určuje polohu pólu reaktívnej funkcie. Obvod uvedený na obr. 149 sa nazýva



V predchádzajúcom úklyade sme sa zoznámili s veľkou, že PRF je i rovnako hodnota PRF. Admitancia je teda tiež PRF. Rozvieme teraz admitanciu zodpovedajúcu impedancii Z(p) (60.10) na účel parciálnych zlomkov. Potom dostávame:

$$Y(p) = Z^{-1}(p) = \frac{k_0}{p} + p k_{\infty} + \sum_{i=1}^m \frac{2k_{zi}p}{p^2 + \omega_{zi}^2} \quad (65.10)$$

každé zložky (65.10) teraz reprezentujú admitancie, ktoré sú spojené paralelne. Zostáva  $k_0$ ,  $k_{\infty}$  a  $k_{zi}$  vypočítame podľa vzťahu

$$k_0 = [pY(p)]_{p=0} \quad k_{\infty} = \lim_{p \rightarrow \infty} [Y(p)/p] \quad 2k_{zi} = [Y(p)(p^2 + \omega_{zi}^2)/p]_{p^2 = -\omega_{zi}^2} \quad (66.10)$$

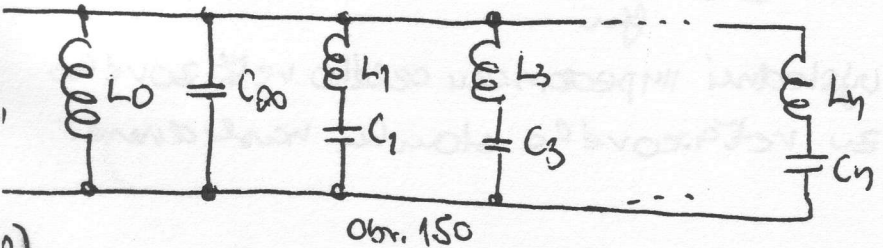
vráťme (65.10) možno upraviť na tento tvar:

$$Y(p) = \frac{1}{p \frac{1}{k_0}} + p k_{\infty} + \sum_{i=1}^m \frac{1}{p \frac{1}{2k_{zi}} + \frac{1}{p \frac{2k_{zi}}{\omega_{zi}^2 + 1}}} = \frac{1}{pL_0} + pC_{\infty} + \sum_{i=1}^m \frac{1}{pL_i + \frac{1}{pC_i}} \quad (67.10)$$

Keďže medzi stavovými prvkami kanonického reaktívneho dvoj-  
ku na obr. 150 a rezíduami Y(p) platia vzťahy:

$$L_0 = 1/k_0 \quad L_i = 1/2k_{zi} \quad C_{\infty} = k_{\infty} \quad C_i = 2k_{zi}/\omega_{zi}^2 \quad (68.10)$$

Typ, uvedený na obr. 150, ktorý odrazuje na báze vzťahu (67.10) nazývajú Fosterovu kanonickú realizáciu dvoj-  
ku z daného odseku pozna-

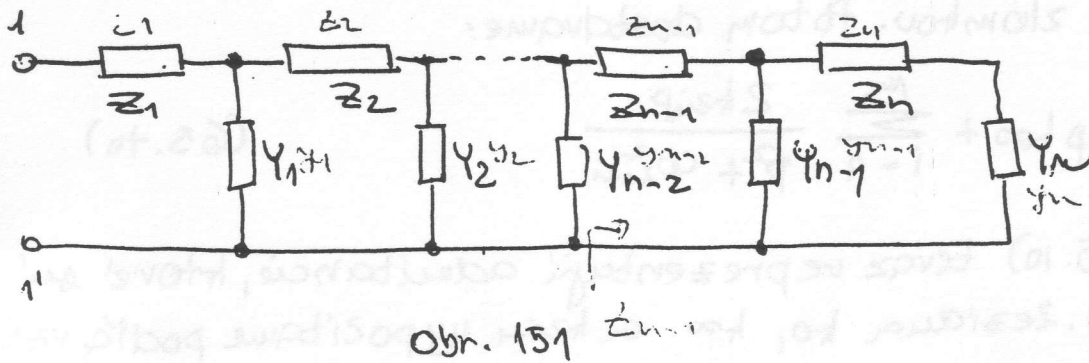


obr. 150

menávame, že o reali-  
zácii v tzv. kanonic-  
kých tvarech hovoríme  
teda, ak systém zovr-

1) dvojpoľy sú realizované s najmenším možným počtom  
elektronických prvkov.

6.2 Synthese dvojpolu zC rozkladom impedančnej funkcie na reťazový zlomok.



Obr. 151

Skôr ako bude pokračovať v štídi ďalších vlastností reaktančných dvojpolov, pozrieme sa na zapojení podľa obr. 151.

Takýto útvar nazývame reťazovým (prečkovým) dvojpolom. V pozdĺžnych vetvách dvojpolu sú označené impedancie  $Z_1, Z_2, \dots, Z_n$ , a v priečných vetvách zase admitancie  $Y_1, Y_2, \dots, Y_n$ . Pre impedanciu poslednej dvojice prvkov  $Z_n, Y_n$  možno vyjadriť takto:

$$Z_n = Z_n + \frac{1}{Y_n} \quad (68.10)$$

Ke admitanciu  $Y_{n-1}$   $Z_n + \frac{1}{Y_n}$  platí

$$Y_{n-1} = Y_{n-1} + \frac{1}{Z_n + \frac{1}{Y_n}} \quad (69.10)$$

Impedanciu  $Z_{n-1}$  vyjadrenú na obr. 151 môžeme vyjadriť takto:

$$Z_{n-1} = Z_{n-1} + \frac{1}{Y_{n-1}} = Z_{n-1} + \frac{1}{Y_{n-1} + \frac{1}{Z_n + \frac{1}{Y_n}}} \quad (70.10)$$

Na základe uvedeného môžeme výslednú impedanciu celého reťazového dvojpolu napísať v tvare tzv. reťazového članku nasledovne:



$$Z = z_1 + \frac{1}{y_1 + \frac{1}{z_2 + \frac{1}{y_2 + \dots + \frac{1}{z_{n-1} + \frac{1}{y_{n-1} + \frac{1}{z_n + \frac{1}{y_n}}}}}}}$$

(71.10)

Z úsporu miesta sa niekedy používa nasledujúce označenie reťazového omku:

$$= z_1 + \frac{1}{\frac{1}{y_1} + \frac{1}{\frac{1}{z_2} + \frac{1}{\frac{1}{y_2} + \dots + \frac{1}{\frac{1}{z_{n-1}} + \frac{1}{\frac{1}{y_{n-1}} + \frac{1}{\frac{1}{z_n} + \frac{1}{y_n}}}}}}}$$

(72.10)

Keďže sú dva možné spôsoby rozloženia impedančnej funkcie na elementárny zlomok:

1. Delením mnohočlenov čitateľa a menovateľa tak, že delič začíname členy s najvyššími mocnosťami premennej  $p$ . Takto získanému dvočlen hovoríme 1. členom kanonického tvaru.

2. Delením mnohočlenov čitateľa a menovateľa, pričom delič začíname členy s najnižšími mocnosťami premennej  $p$ . Takto získanému dvočlen hovoríme 2. členom kanonického tvaru.

Už kanonický tvar realizácie reaktančnej funkcie dostaneme keďkaže toto rovnice

$$Z(p) = \frac{a_{2n} p^{2n} + a_{2n-2} p^{2n-2} + \dots + a_2 p^2 + a_0}{b_{2n-1} p^{2n-1} + b_{2n-3} p^{2n-3} + \dots + b_3 p^3 + b_1 p}$$

(73.10)

prezentujúcej ústernú impedanciu LC dvojpólu. Začnime teraz alžborat' delení čitateľa menovateľom od najvyšších mocnín. prvok kroku dostaneme:

$$Z(p) = \frac{a_{2n}}{b_{2n-1}} p + Z_1(p) = d_1(p) + Z_1(p)$$

(74.10)

kde  $Z_1(p)$  je zvyšok, ktorý má v čitateli mnohočlen  $(2n-2)$ -ho a v menovateli istu hodnotu  $(2n-1)$ -ho stupňa. Aby sme mohli pokračovať v delení od najvyšších mocnín, vezmeme recipročnú hodnotu, pre ktorú po ďalšom kroku dostaneme:

$$Y_1(p) = \frac{1}{Z_1(p)} = \frac{b_{2n-1}}{a_{2n-1}p - 2} + Y_2(p) = G_2p + Y_2(p) \tag{75.10}$$

Získaný zvyšok je teraz v čitateli  $(2n-3)$ -ho stupňa a v menovateli  $(2n-2)$ -ho stupňa. Po reciprokcii a delení dostaneme:

$$Z_2(p) = \frac{1}{Y_2(p)} = \frac{a_{2n-2}}{b_{2n-3}}p + Z_3(p) = L_3p + Z_3(p) \tag{76.10}$$

⋮

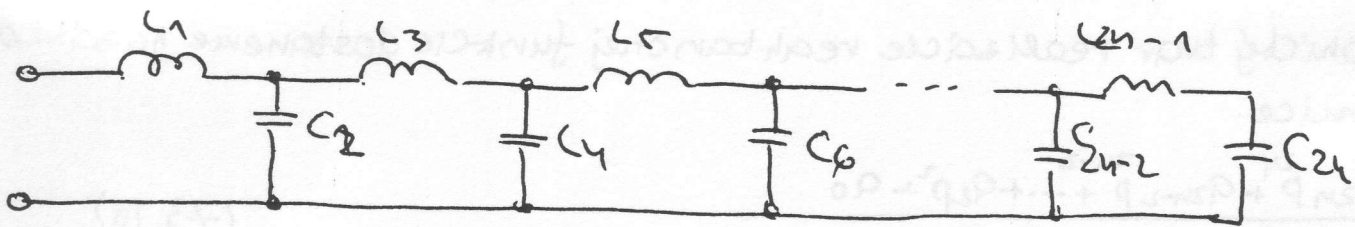
$$Z_{2n-2} = L_{2n-1}p + Z_{2n-1}$$

$$Y_{2n-1} = G_{2n}p$$

V poslednom kroku dostaneme nulový zvyšok, čo dokazuje, že vstupnú impedanciu reaktančného dvojpoľu možno vyjadriť reťazovým zlomkom tvaru:

$$Z(p) = d_1p + \frac{1}{\frac{1}{pC_2} + \frac{1}{pL_3} + \frac{1}{pC_4} + \dots + \frac{1}{L_{2n-1}p} + \frac{1}{G_{2n}p}} \tag{77.10}$$

Keď tento vzťah porovnáme, s výrazom (42.10), môžeme zostaviť realizáciu danej reaktančnej funkcie v priečtovom tvare, ktorý je na obr. 152



obr. 152

(Cauerov)

Ďalší kanonický tvar reaktančného dvojpoľu získame podobne ako 1. Cauerov kanonický tvar, postupným delením. Rozdiel je však utok, že teraz postupujeme pri delení od najnižších mocnín. Do prvého roku dostaneme:

$$Y(p) = \frac{a_0}{b_1} \bar{p}^{-1} + Z_1(p) = \frac{1}{pC_1} + Z_1(p) = \frac{1}{pC_1} + \frac{1}{Y_1(p)} \quad (48.10)$$

reciprotní opdt pokračujeme od největšího mocnín:

$$Y_1(p) = \frac{b_1}{a_2} \bar{p}^{-1} + Z_2(p) = \frac{1}{pL_2} + \frac{1}{Z_2(p)}$$

$$Z_2(p) = \frac{a_2}{b_3} \bar{p}^{-1} + Z_3(p) = \frac{1}{pC_3} + \frac{1}{Y_3(p)} \quad (49.10)$$

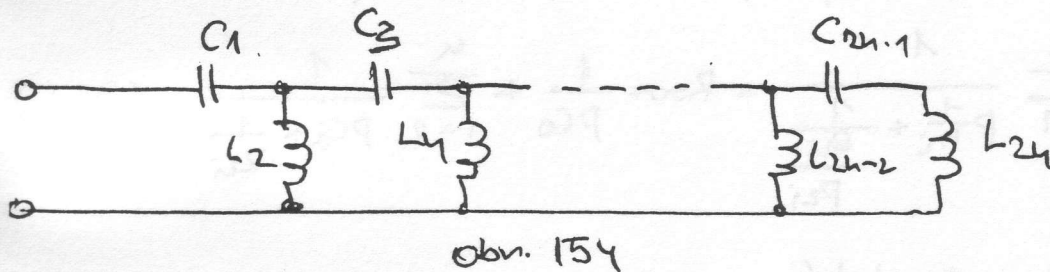
⋮

$$Y_{(2n-1)}(p) = \frac{1}{L_{2n} \cdot p}$$

stejně možno vyjádřit v tuce reťazového zlomku

$$Z(p) = C_1^{-1} \bar{p}^{-1} + \frac{1}{L_2^{-1} \bar{p}^{-1}} + \frac{1}{C_3^{-1} \bar{p}^{-1}} + \frac{1}{L_4^{-1} \bar{p}^{-1}} + \dots + \frac{1}{C_{2n-1}^{-1} \bar{p}^{-1}} + \frac{1}{L_{2n}^{-1} \bar{p}^{-1}} \quad (50.10)$$

ový z odporedí realizácii podľa obr. 153.



Odporedí na obrázku, pre ktorý z realizadných postupov sa máme vpra-  
 rozhodnúť, má je jednoznačnú, pretože reťaz zdĺži na tom, ako a v akom  
 ore je zadaná impedančná funkcia. Z hľadiska praxe je účelne  
 : a židom prípade určiť všetky štyri kanonické tvary a použiť ten, kto-  
 má súčasťky s najpriznivejšími veľkosťami.

### 7. Synthesa IC dvojčlono

Spdy zostavené z vedných rezistorov a kapacitorov sa používajú v mnohých  
 ramovacích zariadeniach. Ich výhodou je malá hmotnosť, malý priestor  
 porovnane s DC dvojčlono, nižšia cena a ľahšia výroba. V súčasnej  
 be v ich prospech hovorí aj možnosť výroby mikroelektronickými technológi-  
 ami.

10.7.1. Synthese RC dvojpólu rozkladom imitovanj funkcie na čiastkové zlomky (t. j. v Fosterovom kanonickom tvare).

(Impedancia RC dvojpólu je v naj všeobecnejšom prípade daná lomenou racionálnou funkciou o kladných a konštantných koeficientoch, kde sa stupne polynómov čitateľa a menovateľa môžu líšiť najviac o jednotku. Impedancia  $Z(p)$  RC dvojpólu, možno potom upraviť v tvare súčtu parciálnych zlomkov takto:

$$Z(p) = h_{\infty} + \frac{h_0}{p} + \sum_{i=1}^m \frac{h_i}{p+p_{2i}} \quad (81.10)$$

de:

$$h_{\infty} = \lim_{p \rightarrow \infty} Z(p) \quad h_0 = [p Z(p)]_{p=0} \quad h_i = [(p+p_{2i}) Z(p)]_{p=-p_{2i}} \quad (82.10)$$

Fyzikálny zmysel (81.10) vznikne lepšie, ak tento vzťah upravíme do tvaru

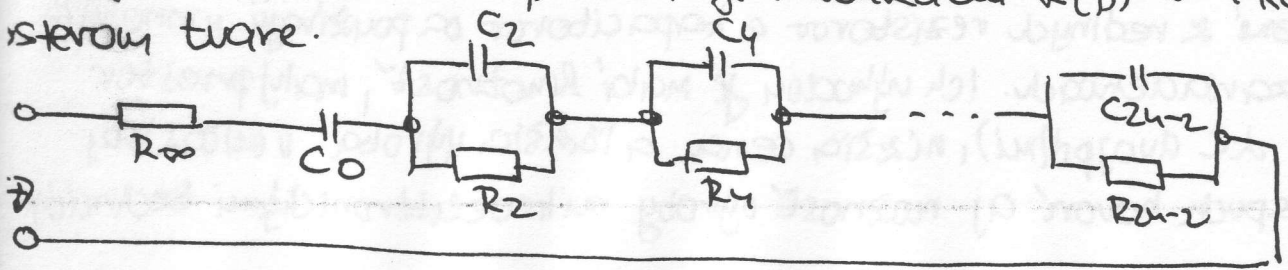
$$Z(p) = h_{\infty} + \frac{1}{p \frac{1}{h_0}} + \sum_{i=1}^m \frac{1}{p \frac{1}{h_i} + \frac{1}{\frac{h_i}{p_{2i}}}} = R_{\infty} + \frac{1}{p C_0} + \sum_{i=1}^m \frac{1}{p C_i + \frac{1}{R_i}} \quad (83.10)$$

postupneho) vzťaku vidíme, že platí:

$$C_0 = \frac{1}{h_0} = \left[ \frac{1}{p Z(p)} \right]_{p=0} \quad C_i = \frac{1}{h_i} = \left[ \frac{1}{Z(p) (p+p_{2i})} \right]_{p=-p_{2i}}$$

$$R_i = \frac{h_i}{p_{2i}} = \frac{1}{p_{2i} C_i} \quad (84.10)$$

Intuitívny (83.10) možno realizovať obvodom podľa obr. 155. Obvod zdaný na tomto obr. reprezentuje realizáciu  $Z(p)$  v 1. kanonickom tvare.



Obr. 155

úzkou v d. kanonickom tvare existuje z vybranou admitanciou  $Y(p) = 1/Z(p)$   
 snív vyjadrieme u tvare:

$$p) = h_0 + p h_\infty + p \sum_{i=1}^n \frac{h_i}{p + p_i} = h_0 + p h_\infty + \sum_{i=1}^n \frac{1}{\frac{1}{h_i} + \frac{1}{p \frac{h_i}{p_i}}} \quad (85.10)$$

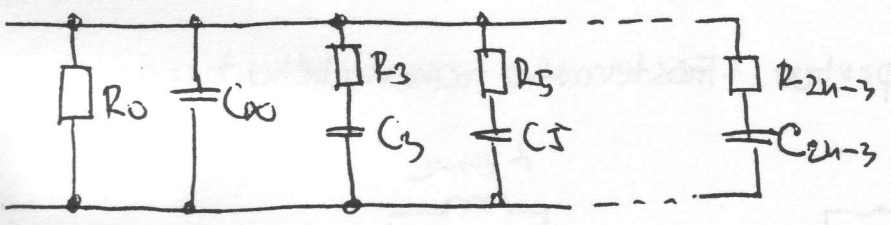
$$= \frac{1}{R_0} + p C_\infty + \sum_{i=1}^n \frac{1}{R_i + \frac{1}{p C_i}} \quad (86.10)$$

e:

$$R_0 = \left[ \frac{1}{Y(p)} \right]_{p=0} = [Z(p)]_{p=0} \quad C_\infty = \left[ \frac{Y(p)}{p} \right]_{p \rightarrow \infty} = \left[ \frac{1}{p Z(p)} \right]_{p \rightarrow \infty} \quad (87.10)$$

$$R_i = \left[ \frac{p}{(p + p_i) Y(p)} \right]_{p = -p_i} = \left[ \frac{p Z(p)}{p + p_i} \right]_{p = -p_i} \quad C_i = \frac{1}{p_i R_i}$$

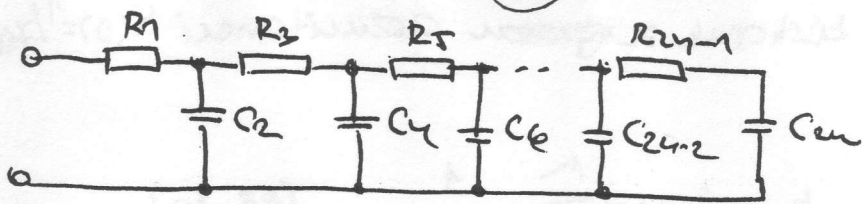
keďže zapojenie obvodu, ktoré je zvidne ako realizácia RC obvodu  
 Fosterovom kanonickom tvare je naznacene na obr. 156.



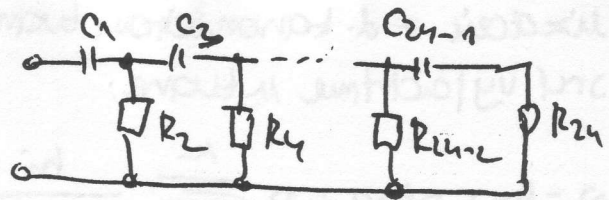
obr. 156.

... (faded text) ...

stavu RC dvojpolu v 1. a 2. Caurovom kanonickom tvare dostaneme  
 úplnu realizáciu mnohočlenov  $Z(p)$  od najvyšších, resp. najnižších moc.  
 Na obr. 154 je zapojenie zodpovedajúce 1. na obr. 158. 2. Caurov-  
 kanonickému tvaru. uvedené postupy nepotrebyjú ďalší výklad.



obr. 157



obr. 158.

10.8. Synéza RL dvojpólu

ni realizácii RL dvojpólu postupujeme analogicky ako pri realizácii LC alebo C dvojpólu. Budeme tu vychádzať z toho, že impedanciu  $Z(p)$  uypíšeme v tvare

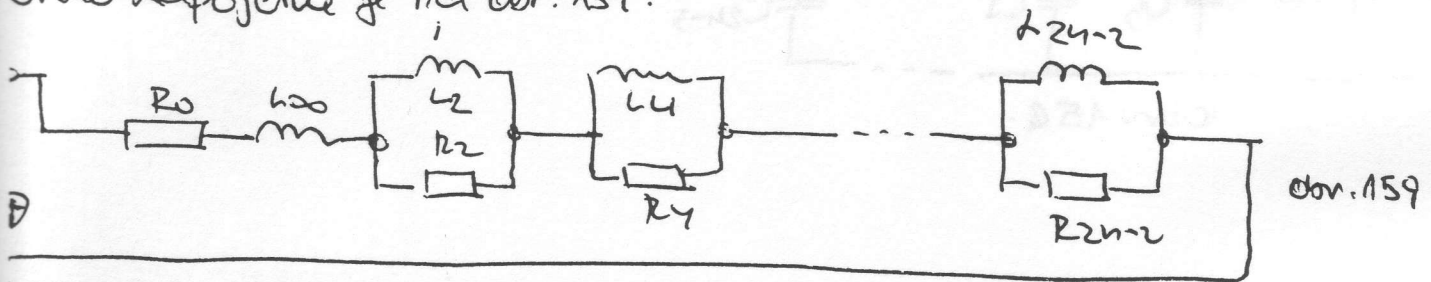
$$Z(p) = R_0 + pL_\infty + p \sum_{i=1}^m \frac{h_i}{p + p_i} = R_0 + pL_\infty + \sum_{i=1}^m \frac{1}{\frac{1}{R_i} + \frac{1}{pL_i}} \quad (88.10)$$

-de

$$R_0 = R_0 \quad L_\infty = L_\infty \quad R_i = h_i = \left[ \frac{Z(p)(p+p_i)}{p} \right]_{p=-p_i} \quad L_i = \frac{h_i}{p_i} = \frac{R_i}{p_i}$$

$$R_0 = Z(p)|_{p=0} \quad L_\infty = \lim_{p \rightarrow \infty} \frac{Z(p)}{p} \quad (89.10)$$

sumice (89.10) slúži pre výpočet prvkov 1. Fosterovho kanonického tvaru, ktoré sú zapojené ako na obr. 159.



$Y(p)$

i druhom kanonickom tvare uypíšeme z funkcie  $Y(p)$ , ktorú môžeme zložiť na tvar

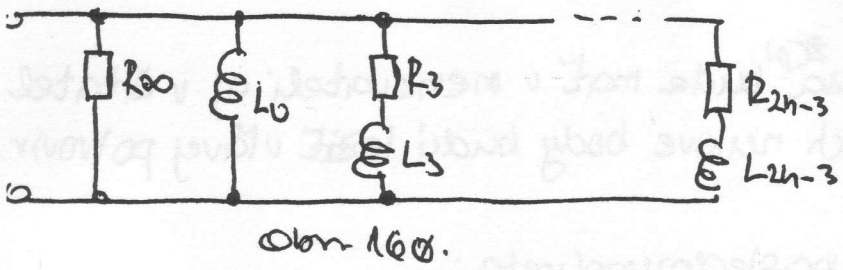
$$Y(p) = h_\infty + \frac{h_0}{p} + \sum_{i=1}^m \frac{h_i}{p + p_i} = \frac{1}{R_\infty} + \frac{1}{pL_0} + \sum_{i=1}^m \frac{1}{R_i + pL_i} \quad (90.10)$$

ke:

$$\infty = \frac{1}{h_\infty} = \lim_{p \rightarrow \infty} Y(p) \quad L_0 = \frac{1}{h_0} = \frac{1}{[pY(p)]_{p=0}} \quad L_i = \left[ \frac{1}{Y(p)(p+p_i)} \right]_{p=-p_i} \quad (91.10)$$

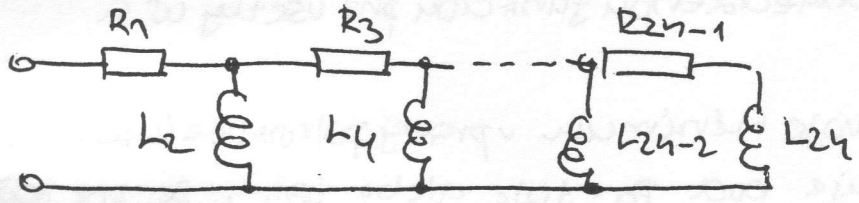
$$L_i = \frac{p_i}{h_i} = p_i L_i$$

1. Odpovedajúce zapojenie 1. Fosterovoho kanonického tvaru je na obr. 160.

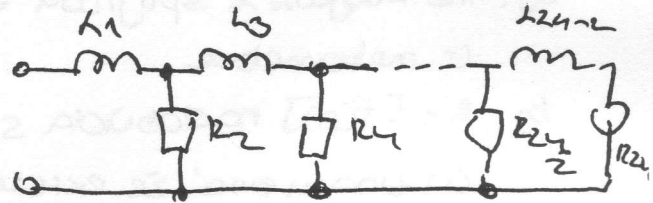


obr. 160.

1. a 2. Cauevov kanonický tvar dostaneme rozkladom impedančnej funkcie na reťazové zlomky. Odpovedajúce zapojenie je na obr. 161 a obr. 162.



obr. 161

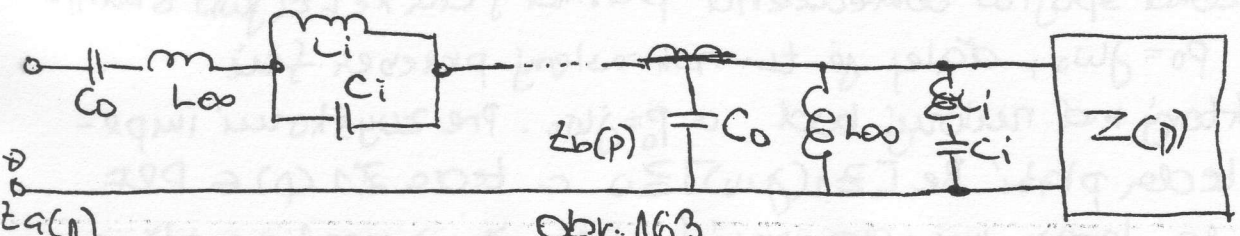


obr. 162.

1. Brunellov systém RLC dvojpolov

Pri realizácii RLC dvojpolov sa budeme snažiť danú funkciu rozčleniť na dielčie časti, realizácia ktorých je ľahšia ako bezprostredná realizácia celej imitančnej funkcie. Základný význam tu má redukcia reakcie obecného dvojpolu odstránením pólov impedancie na imaginárnej osi, alebo redukcia susceptancie spoživačica v odstránení nulových bodov na imaginárnej osi.

Konstrukcia dvojpolov z minimálnou reaktanciou a minimálnou susceptanciou je naznačená na obr. 163. Z pôvodného dvojpolu s impedanciou  $Z_a(p)$  sme odštepili prvky, realizujúce všetky póly impedancie  $Z_a(p)$  na imaginárnej osi 1. Fosterovým kanonickým reaktančným dvojpolom. Zvyšková funkcia  $Z_b(p)$  už nemá póly na imaginárnej osi a táto funkcia s minimálnou reaktanciou. Z prevrátenej hodnoty  $T$  impedancie  $Z_b(p)$  odštepíme druhý kanonický reaktančný dvojpol (Foster-kanonický tvar), ktorým realizujeme nulové body impedančnej funkcie  $Z_b(p)$ , ktoré ležia na imaginárnej osi komplexnej premennej  $p$ . Admitancia  $Z_b^i(p)$  má minimálnu susceptanciu.



obr. 163

Admitancia  $Z_b^i(p)$  má minimálnu susceptanciu.

1. Naznačený systém striedame tak dĺž, čím zvyšková funkcia nemá

poly dru: nulové body na imaginárnej osi súči impedanciou s minimálnou reaktanciou a susceptanciou.

Zvyšková impedančná funkcia  $Z(p)$  bude mať v menovateli aj v čitateli mnohočleny rovnakého stupňa. Ich nulové body budú ležať v ľavej polrovine komplexnej roviny  $p$ .

1) Impedančnej funkcii platí nasledovná veta:

ak je  $f(p)$  PRF, potom:

a).  $\text{Re}[f(j\omega)]$  je spojitou obmedzenou funkciou pre všetky  $\omega$  a  $\omega$  nekonečne

b).  $\text{Re}[f(p)]$  nadobúda svoje minimum v pravej polrovine (uzavretej) čo znamená, že existuje bod  $p_0 = j\omega_0$  alebo tak, že pre každé  $\epsilon > 0$ , z otvorenej pravej polroviny platí

$$\text{Re}[f(p_0)] < \text{Re}[f(p)] \tag{91.10}$$

keď vylúčime triviálne prípady.

c). Ak je  $R$  hodnota tohoto minima, potom je to reálna konštantná a pozitívne reálnej funkcii  $f(p) - R$  má reálnu časť práve v bode  $p_0$ , pričom  $f(p) - R$  je opäť PRF

keď budeme teraz uvažovať impedančnú funkciu  $Z(p)$  s minimálnou reaktanciou a minimálnou susceptanciou z obr. 164, potom podľa predošlej vety je:

$$Z_1(p) = Z(p) - R \tag{92.10}$$

je PRF. Impedancia  $Z_1(p)$  má v  $p_0 = j\omega_0$  nulovú rezistanciu a postupom daným (92.10) nazývame redukciou rezistancie. V tomto bode a) impedancia  $Z_1(p)$  tvorí

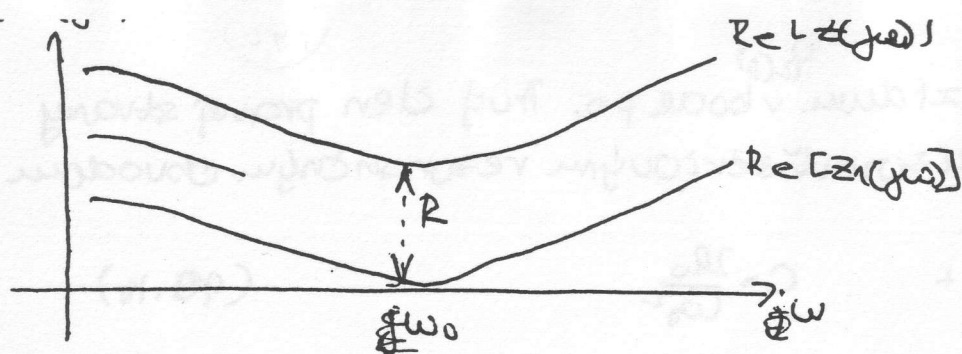
$$Z_1(p_0) = jX \tag{93.10}$$

keď  $X$  je konečné reálne číslo.

Na obr. 164 je postup redukcie rezistancie naznačený graficky. Vpravo je naznačená spojito obmedzená parná fcia  $\text{Re}[Z(j\omega)]$  s minimom  $R$  v bode  $p_0 = j\omega_0$ , ďalej je tu zakreslený priebeh fcie  $\text{Re}[Z(j\omega)] - R$ , ktorý má nulový bod v  $p_0 = j\omega_0$ . Pre zvyškovú impedančnú fciu teda platí  $\text{Re}[Z_1(j\omega)] \geq 0$  a teda  $Z_1(p) \in \text{PRF}$ .

Pokusíme sa teraz impedančnú funkciu  $Z_1(p)$  realizovať a postupujeme podľa Bruneho:





obr. 164

Najskôr predpokladajme, že v rovnici (93.10) platí  $\lambda < 0$ ,  $\omega_0 > 0$ .  
Rozložme  $Z_1(p)$  na dve časti:

$$Z_1(p) = Z_2(p) + pL_I \quad (94.10)$$

takže u bode  $p_0 = j\omega_0$  bude platiť

$$Z_1(p_0) = Z_2(j\omega_0) + j\omega_0 L_I = jX \quad (95.10)$$

Predpokladajme, že  $Z_2(j\omega_0) = 0$

Potom z (95.10) pre  $L_I$  dostávame:

$$L_I = \frac{X}{\omega_0} \quad (96.10)$$

buďme ešte opätovne skutočnosťou, že  $L_I < 0$ , pretože  $X < 0$ . Uďal-  
m uvažujeme, že existuje možnosť realizovať záporný induktor.  
Z rovnice (94.10) potom vypočítame:

$$Z_2(p) = Z_1(p) - pL_I \quad (97.10)$$

kde  $Z_1(p)$  je PRF alebo  $-L_I > 0$ . Pri odvodzovaní (96.10)  
sme predpokladali, že  $p_0$  je nulový bod  $Z_2(p)$ . Preto admi-  
tanciu  $Y_2(p)$  môžeme rozložiť na tento tvar:

$$Y_2(p) = \frac{2R\omega_0\epsilon p}{p^2 + \omega_0^2} + Y_3(p) \quad (98.10)$$

(190)

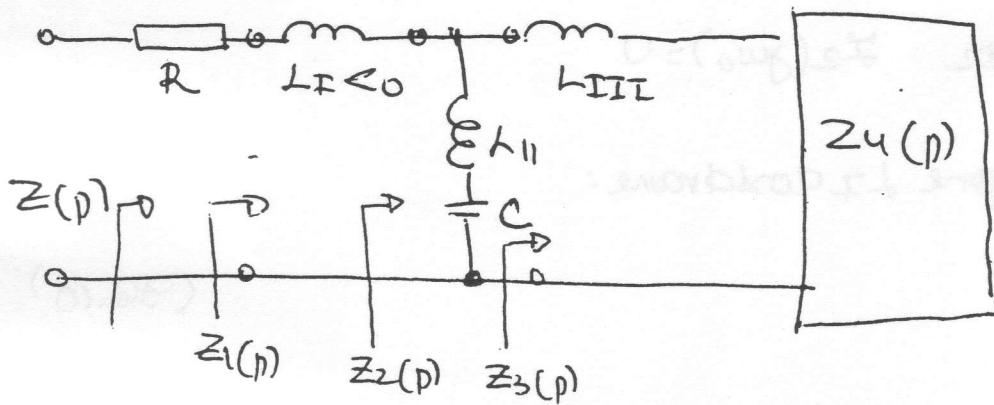
Kde do je hlavné reziduum v bode  $p_0$ . Prvý člen pravej strany rovnice môžeme realizovať sériovým rezonančným obvodom s prvkami

$$L_{II} = \frac{1}{2h_0} + \quad C = \frac{2h_0}{\omega_0^2} \quad (99.10)$$

Z rovnice (94.10) vidíme, že  $Z_C(p)$  má v nekonečne pól. Prvý člen rovnice (98.10) má v nekonečne nulový bod admitancie, čiže po impedanci. Preto musí mať v nekonečne pól i impedancia  $Z_3(p)$ . V nekonečne tejto impedancii vytvorí sériový induktor  $L_{III}$ , ter

$$Z_3(p) = pL_{III} + Z_4(p) \quad (100.10)$$

Impedancia  $Z_4(p)$  je nižšieho stupňa ako impedancia  $Z_C(p)$  je tiež PRF. Uvedný postup realizuje  $Z(p)$  spôsobom, uvedeným na obr. 165. Na obr. 165



Obr. 165

realizačný postep spočíva v umelom vytvorení nulového bodu impedancie funkcie na imaginárnej osi, ktorý nepriamo realizuje súčastkami  $L_{II}$ ,  $L_{III}$  a  $C$ .

Preto je potrebné zistiť, či medzi týmito prvkami neexistuje nejaký vzťah.

Do rovnice pre  $Y(p)$  (98.10) dosadíme (99.10) a (100.10) vynásobíme ju  $p$  a počítajme limitu  $p \rightarrow \infty$ . Dostaneme:

$$\begin{aligned} p^2 Y(p) &= \frac{2h_0 p^2}{p^2 + \omega_0^2} + p Y_3(p) = \frac{1}{\frac{1}{2h_0} + \frac{\omega_0^2}{\omega_0 p^2}} + \frac{p}{pL_{III} + Z_4(p)} = \\ &= \frac{1}{L_{II} + \frac{1}{Cp^2}} + \frac{1}{L_{III} + \frac{Z_4(p)}{p}} \end{aligned} \quad (101.10)$$

$$p^2 Y(p) = -\frac{p}{Z_1(p) - pL_I} = \frac{1}{\frac{Z_1(p)}{p} - L_I} \quad (102.10)$$

$$\lim_{p \rightarrow \infty} p Y_2(p) = -\frac{1}{L_I}$$

(102.10)

$$\lim_{p \rightarrow \infty} p^2 Z(p) = \frac{1}{L_{II}} + \frac{1}{L_{III}}$$

(101.10)

(149)

(103.10)

Čoko

$$-\frac{1}{L_I} = \frac{1}{L_{II}} + \frac{1}{L_{III}} \Rightarrow \frac{1}{L_I} + \frac{1}{L_{II}} + \frac{1}{L_{III}} = 0$$

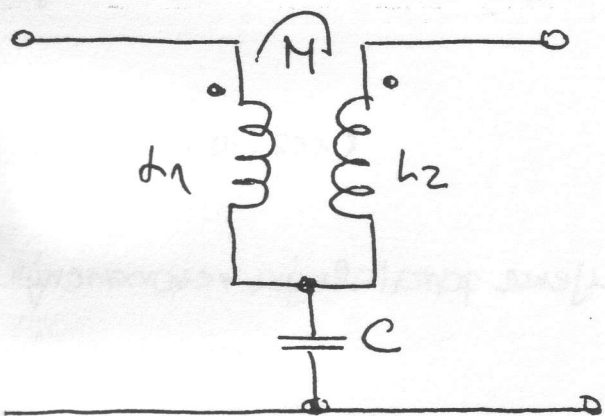
(104.10)

j.

$$L_I L_{II} + L_I L_{III} + L_{II} L_{III} = 0$$

(105.10)

Spól naznačený na obr. 165, zložený s induktorov  $L_I, L_{II}$  a  $L_{III}$ , a môžeme nahradiť trojpolom s magnetickou väzbou. Ekvivalentný trojpol je na obr. 166., kde:



Obr. 166.

$$L_1 = L_I + L_{II}$$

$$L_2 = L_{II} + L_{III}$$

$$M = L_{II}$$

$$C = \frac{2k_0}{\omega_0^2}$$

(106.10)

Súčiniteľ väzby dokonalého transformátora možno určiť z induktívností

$L_1, L_2$  a  $M$ . Dostaneme

$$k^2 = \frac{M^2}{L_1 L_2} = \frac{L_{II}^2}{(L_I + L_{II})(L_{II} + L_{III})} = \frac{L_{II}^2}{L_I L_{II} + L_{II}^2 + L_I L_{III} + L_{II} L_{III}} = \frac{L_{II}^2}{L_{II}^2} = 1$$

(107.10)

to vidieť. Bruneho realizačný postup vyžaduje použitie dokonalého transformátora.

Keď bude  $Y_3(p) = 0$ , potom realizačný postup sa zastavuje na kroku nom rovnice (98.10)

Teraz predpokladajme, že v rovnici (95.10) je  $x > 0, \omega_0 > 0$ .

Rovnicu (95.10) môžeme potom napísať v tvare admitancie:

$$Y_1(p) = \frac{1}{Z_1(p)} = \frac{1}{jx} = j \frac{1}{-x} = jY$$

(108.10)

kde  $Y = -1/X < 0$

Admitanciu  $Y_1(p)$  rozštiepime na dve zložky

$$Y_1(p) = Y_2(p) + C_1 p \quad (109.10)$$

Predpokladajme, že v bode  $p_0 = j\omega_0$  bude mať  $Y_2(j\omega_0)$  nulu, takže  $Y_2(j\omega_0) = 0$ , a teda platí

$$Y_1(j\omega_0) = Y_2(j\omega_0) + j\omega_0 C_1 = j\omega_0 C_1 = jY \quad (110.10)$$

takže:

$$C_1 = Y/\omega_0 \quad (111.10)$$

Pretože,  $Y < 0$ , je aj  $C_1 < 0$ . Pretože  $Y_2(p)$  má v bode  $p_0$  nulový bod, má tam  $Z_2(p)$  pól. Potom

$$Z_2(p) = \frac{2h_0 p}{p^2 + \omega_0^2} + Z_3(p) \quad (112.10)$$

Prvý člen pravej strany rovnice realizujeme paralelným rezonančným obvodom s členmi

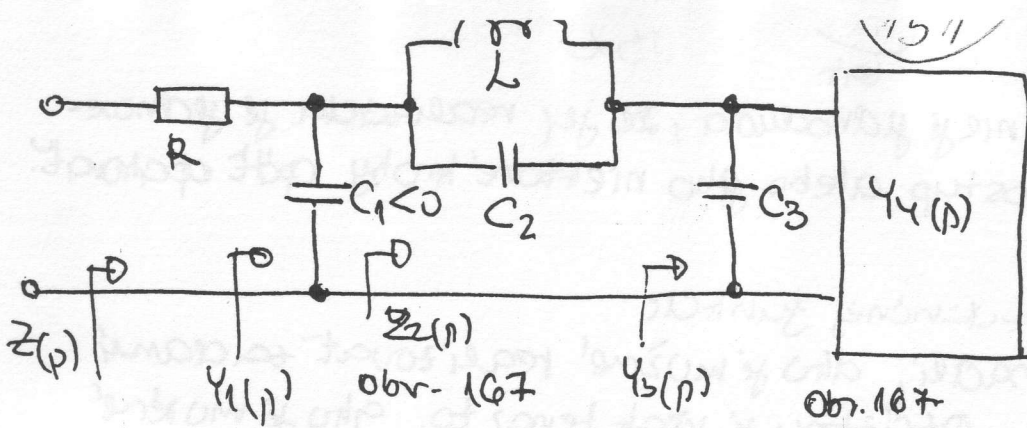
$$\frac{2h_0 p}{p^2 + \omega_0^2} = \frac{1}{p^2 h_0 + \frac{1}{p \frac{2h_0}{\omega_0^2}}} = \frac{1}{p C_2 + \frac{1}{p L}} \quad (113.10)$$

$$C_2 = \frac{1}{2h_0} \quad L = \frac{2h_0}{\omega_0^2} \quad (114.10)$$

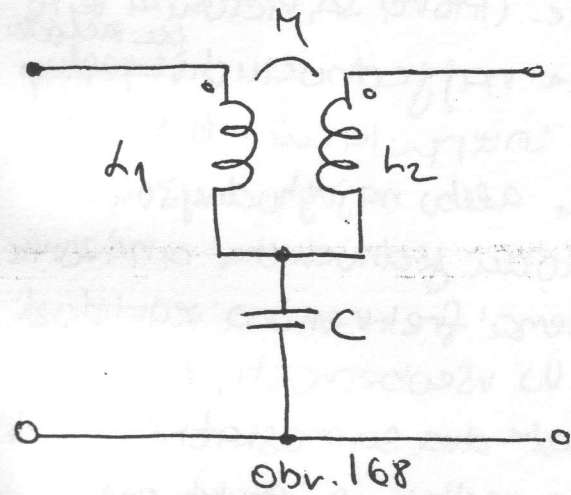
Prvá časť pravej strany rovnice (112.10) má v nekonечnu nulový bod musí tam mať potom nulový bod aj  $Z_3(p)$ . Preto je možné prevrátenú hodnotu tejto impedancie vložiť na dvojčlen

$$Y_3(p) = p C_3 + Y_4(p) \quad (115.10)$$

príčomu  $Y_4(p)$  je PRF nižšieho stupňa ako  $Y(p)$ . Realizačný postup je na obr. 164.



Utvár so zápornou kapacitou  $C_1$  možno opäť realizovať obvodom so vzájomnou magnetickou väzbou (obr. 168) kde



$$L_1 = \frac{C_2 + C_3}{C_1 + C_3} L$$

$$L_2 = \frac{C_1 + C_2}{C_1 + C_3} L \quad (16.10)$$

$$M = \frac{C_2}{C_1 + C_3} L$$

$$C = C_1 + C_3$$

iného metódu môžeme zhrnúť do nasledujúcich bodov:

1. Určiť všetky póly impedančnej funkcie, ktoré ležia na imaginárnej osi a realizovať ich (1. Fosterovým) reaktančným dvojpólom (minimalizácia reaktancie).

2. Určiť všetky nuly impedančnej funkcie s minimálnou reaktanciou a realizovať ich reaktančným dvojpólom (minimalizácia susceptancie).

Podľa potreby treba oba body 1. a 2. opakovat tak dlho, kým zúšťovať funkcia nemá žiadne body nulové ani póly na imaginárnej osi.

3. Zistíme veľkosť a polohu minima reálnej časti zúšťovanej impedančnej funkcie.

4. Určíme zúšťovateľ funkciu impedanciu s minimálnou rezistanciou.

5. Bruneho metódou realizujeme novo vytvorený nulový bod impedancie na imaginárnej osi.

6. Trojpól realizujúci novo vytvorený nulový bod na imaginárnej osi a obsahujúci jeden záporný prvok, nahradíme ekvivalentným zapojením.

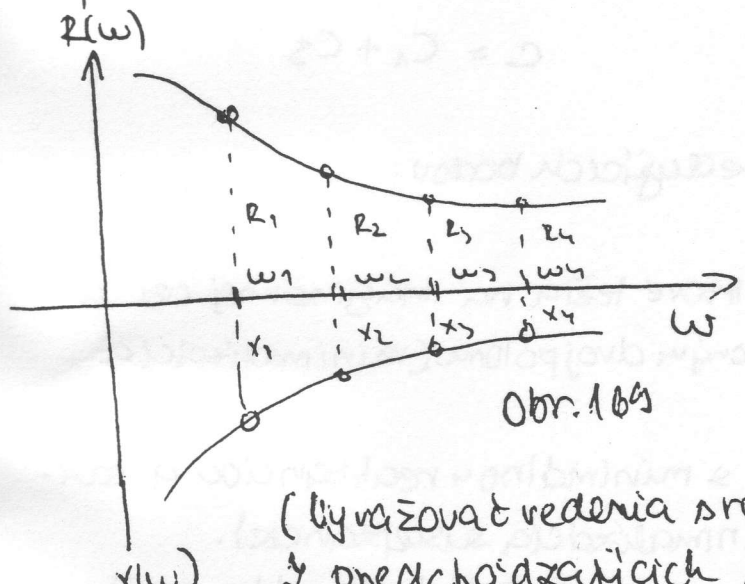
7. Zúšťovať funkcia nie je tak jednoduchá, že jej realizácia je jednoznačná, pretože celková funkcia môže byť realizovaná rôznymi spôsobmi.

8. Kým zvyškova funkcia nie je jednoduša, že jej realizácia je jednoznačná, možno celý postup alebo jeho niektoré kroky opäť opakovat.

### 10.10 Aproximácia impedančnej funkcie

U predložom sme naznačili, ako je možné realizovať zadanú impedančnú funkciu. Odtiaľto je však teraz to, ako je možné túto impedančnú fciu zoskopiť. Problematika aproximácií, ktorej sa zaoberáme, je dôležitejšia než tá, ktorú sme naznačili (ktorá sa rieši v tejto kapitole). U tejto kapitole uvedieme najjednoduchší postup aproximácie impedančnej funkcie. Z interpolácií. O tejto metóde nemôžeme povedať, že je univerzálnou alebo najvhodnejšou. Zvolili sme ju preto, lebo sa jedná o metódu jednoduchú a názornú.

Predpokladajme, že na obr. 169 je zakreslená frekvencná závislosť impedančnej funkcie  $Z(j\omega) = R(\omega) + jX(\omega)$ . Vo všeobecnosti, my sme mali mať dva samostatné obrázky jeden pre reálnu a druhý pre imaginárnu časť impedancie. Pretože však reálna časť nebude nikdy záporná, a ďalej predpokladáme, že imaginárna časť bude mať trvale kapacitný charakter, je možné spojiť oba obrázky v jed



Obr. 169

(by sa dalo vyjadriť v reálnych a imaginárnych parametroch).

Z predchádzajúcich úvah vieme, že impedančná funkcia je v zvláštnych prípadoch racionálnou lomenou funkciou. Zvláštnosťou tu spočíva v tom, že musí byť PRF.

Všeobecný tvar impedančnej funkcie je daný rovnicou

$$Z(p) = \frac{a_n p^n + a_{n-1} p^{n-1} + \dots + a_1 p + a_0}{b_s p^s + b_{s-1} p^{s-1} + \dots + b_1 p + b_0} \quad (117.10)$$

Posadením  $p = j\omega$  do (117.10) dostaneme:

$$Z(j\omega) = \frac{a_0 + a_1(j\omega) + a_2(j\omega)^2 + \dots}{b_0 + b_1(j\omega) + b_2(j\omega)^2 + \dots} = R(\omega) + jX(\omega) \quad (118.10)$$